When the property of WALTER ROCHA

devidence who is so to see the property of the property of

Estudo Morfométrico e Histopatológico dos efeitos da Hipervitaminose A, na Glândula de Harder de Ratos, durante a Lactação.

Tese apresentada à Faculdade de Odontologia de Piracicaba UNICAMP, para obtenção do grau de Doutor em Ciências.

> Área de concentração: Farmacologia

PIRACICABA - 1987

UNICAMP

Ao meu pai e a minha mãe, que moldaram o meu ser e lapidaram o meu carater.

> Acreditar na pessoa amada e um ato de confiança e de coragem. Obrigado, Lila.

> > As minhas filhas,
> >
> > Patrīcia e Giovanna,
> >
> > razões mais fortes de todo
> >
> > nosso empenho,
> >
> > fontes puras da
> >
> > nossa recompensa.

DEDICO ESTE TRABALHO.

Ao Professor Doutor JOSÉ RENAN VIEIRA

DA COSTA, cientista dedicado, idealista, competen

te, amigo sincero e desinteressado, que luta cons

tantemente para a elevação do nível científico da

nossa Escola, a quem devo grande parte dos ensina

mentos contidos neste Trabalho, o nosso agradeci
mento especial, a nossa eterna gratidão.

Ao Professor Dr. AMADO LEONISIO DE AZEVEDO, pela orientação segura, pelo apoio constante, pela amizade e atenção.

#### **AGRADECIMENTOS**

- Ao Dr. PAULO RENATO COSTA SOUZA, Magnifico Reitor da Universidade Estadual de Campinas (UNICAMP), pela oportunidade a nos conferida para a realização e conclusão do Curso de Pos-Graduação.
- Agradecemos, em especial, à Faculdade de Odontologia de Piraci caba (UNICAMP), através de seu dignissimo Diretor, Dr. SIMONI DES CONSANI.
- Ao Professor Dr. SAMIR TUFIC ARBEX, Coordenador Geral do Curso de Pos-Graduação em Farmacologia da Faculdade de Odontologia de Piracicaba, pelo estímulo constante a pesquisa, pelos ensinamentos precisos.
- Ao Professor Dr. ANTÔNIO CARLOS NEDER, pelos ensinamentos recebidos durante o Curso de Pos-Graduação e pela oportunidade a nos conferida.
- Ao Companheiro, Diretor da Escola de Farmacía e Odontologia de Alfenas (EFOA), Professor AFRÂNIO CAIAFA DE MESQUITA, pelo incentivo à pesquisa, pela abertura científica e social em nossa Escola, pelo crédito àqueles que fazem do Magistério um ideal.
- Ao Professor VINTCIUS VIEIRA VIGNOLI, Chefe do Departamento de Morfologia, pelo apoio, compreensão e carinho dedicados a nossa pessoa.
- Ao Professor ANTÔNIO CAMILO DE SOUZA CRUZ, pelo constante auxilio cientifico e pela amizade dedicada.
- A Professora FATIMA DE SOUZA, pelo excelente trabalho na confecção dos gráficos.
- Ao Professor JOSÉ SEBASTIÃO MARTINS, pela execução das analises estatísticas.
- Aos Colegas e Funcionários do Departamento de Morfologia, pelo incentivo dispensado durante a realização deste trabalho.

- Aos Professores e Funcionários do Departamento de Ciências Fi siplógicas da Faculdade de Odontologia de Piracicaba, pelos ensinamentos recebidos, pelo apoio, pela amizade e pela convi vencia sadia.
- Ao amigo, SEBASTIÃO MEIRA, pelos trabalhos datilográficos e revisão gramatical.
- Ao Senhor CARLOS BERNARDOS PEREIRA, Bioterista, pelo zelo com os animais utilizados neste experimento.
- E de um modo geral, à todos aqueles que, direta ou indireta mente, participaram deste trabalho.

# INDICE

1,	INTRODUÇÃO	Ţ
	1.1. Considerações Gerais	2
	1.2. Efeitos da vitamina A nos tecidos	3 5 8 10 12 13 15 16 16 18 19 22 22 23 27 31 47 67
	1.3. Efeitos da hipervitaminose A nas glândulas exocrinas	5
	1.4. Efeitos nas membranas celulares	8
	1.5. Interação vitamina A e adrenal	10
	1.6. Proposição	10
the second secon	MATERIAL E METODOS	12
	2.1. Material	13
	2.2. Tecnica de dissecação e pesagem	15
	2.3. Tēcnicas histologicas	15
	2.4. Tecnicas morfometricas	16
	2.4.1. Técnica de CHALKLEY	
	2.4.2. Cariometria	
	2.5. Tecnicas estatisticas	
	2.5.1. Teste da mediana	19
3.	RESULTADOS	21
	3.1. Aspecto geral dos animais	22
	3.1.1. Peso corporal	22
	3.1.2. Peso glandular	23
	3.1.3. Resultados histológicos	27
	3.2. Resultados morfometricos	31
	3.2.1. Técnica de CHALKLEY	
	3.2.2. Resultados cariométricos	47
4.	DISCUSŞÃO	67
5.	CONCLUSÕES	75
	REFERÊNCIAS BIBLIOGRĀFICAS	

1. INTRODUÇÃO

# 1.1. CONSIDERAÇÕES GERAIS

O termo vitamina A designa todos os compostos que tem atividade da vitamina A. Os principais são: o retinol, também denominado de vitamina  $A_1$ ; o axerofitol ou axerol; os esteres de vitamina A (palmitato e oleato) e o beta caroteno, que é uma pro-vitamina A. Nos tecidos animais o retinol apresenta-se em uma variedade de formas, principalmente na forma esterificada, na forma de palmitato (WEST & cols., 1969).

As substancias do grupo da vitamina A, que apresentam atividade de vitamina A, são atualmente designa - das como "todo - transretinol", e da mesma maneira são nomeados os seus derivados, sendo que o termo vitamina A ainda continua a ser utilizado para todos os compostos desse grupo, bem como compostos de estruturas ainda não determinadas, mas que possuem a atividade biológica do retinol (GANGULY, 1967).

A major parte do retinol absorvido

pelo organismo de mamíferos e armazenada no fígado como ester de palmitato na proporção de 100 µg por grama de fígado. Ao entrar na circulação, o retinol esterificado liga-se a uma alfa-globulina de nominada RBP e circula pelo sangue formando um complexo com uma pre-albumina, o que impede que a RBP seja filtrada pelos glomeru - los (MALLIA & cols., 1975).

#### 1.2. EFEITOS DA VITAMINA A NOS TECIDOS

Os efeitos da deficiência de vitamina A (MOORE, 1957, 1964) e da hipervitaminose A (RODAHL, 1950:MO ORE, 1957) foram intensamente estudados. MOORE (1957, 1964, 1965) enumerou uma serie de anormalidades observadas no rato, coelho, cão, boi, galinha, macaco e homem, no transcorrer de uma avitaminose A. Essas anormalidades seriam representadas por adaptação deféituosa ao escuro, deficiência de crescimento, ceratinização das membranas mucosas, xeroftalmia, propensão à infecções secundárias, falha na modelação ossea com a produção de osso espesso e sem função em lugar de osso mais fino, lesões nervosas, aumento da pressão do 17 quido cerebro espinhal desenvolvida independentemente ou associada com ossos deformados do crânio, hidrocefalia, anormalidades na reprodução, anormalidades do testículo e aborto, doença da pele e morte. As lesões resultantes da administração de doses elevadas de vitamina A, estudadas por MOORE (1957, 1965), incluem: anormalida des na pele, aumento da pressão do liquido cerebro espinhal, nause as, vômitos e anormalidades osseas no homem; fratura ossea, hemorragia interna profusa e fatal, deficiencia secundaria de vitamina K, mal formações congênitas, fraqueza muscular, perda de pêlo, ede ma das palpebras, curvatura pronunciada da coluna vertebral, fratu ras espontaneas e parada de crescimento no rato. Uma alteração mar cante em ossos foi descrita pela primeira vez por COLLAZO & RODRI-GUES (1933), tendo sido observado que o esqueleto de ratos que receberam excesso de concentrado de óleo de figado de bacalhau torna va-se tão fragil que os animais sofriam fraturas espontâneas dos membros posteriores e anteriores. DAVIS & MOORE (1934), verifica -

ram que em alguns casos as extremidades daquelas fraturas anquilo-savam, formando calos osseos grandes e irregulares. RODAHL & MOORE (1943), observaram que ratos submetidos a uma hipervitaminose A,algumas vezes morriam devido a uma intensa hemorragia interna. MOORE & WANG (1945), constataram hemorragias uterinas em ratas gravidas, quando da administração, em excesso, de oleo de figado de bacalhau ou de acetato de vitamina A.

A ação direta do excesso de vitami na A sobre a epiderme ocasiona metaplasia e foi estudada "in vitro" por FELL & MELLANBY (1953), WEISS & JAMES (1955) e "in vivo " por LAWRENCE & BERN (1960, 1963) e HARDY (1968).

Quando da aplicação de vitamina A na epiderme observou-se aumento acentuado da espessura de toda a epiderme, hiperplasia, hipertrofia, alem de um aumento na atividade mitotica tanto no rato (SABELLA & cols., 1951; BERN & cols., 1955), no camundongo (LAWRENCE & BERN, 1958), como no hamster (LAWRENCE & cols., 1960). Quando aplicada diretamente na vagina de ratas, verificou-se inibição na corneificação do epitelio vaginal (KAHN, 1954).

FRANQUIN & cols. (1969), estudando o efeito da hipervitaminose A sobre o epitelio gengival de ratos, constataram redução marcante na camada cornea, aumento dos granu-los ceratohialinos e espessamento da membrana basal.

Com relação à testiculos frente a hipervitaminose A, podemos citar os trabalhos de MADDOCK & cols. (1953), em ratos recem-desmamados e de LAMANO CARVALHO (1977), em ratos jovens, os quais mostraram uma degeneração testicular frente ao excesso de vitamina A.

Trabalhos relativos à hipervitaminose A na musculatura esquelética foram feitos por LOPES & cols. (1979), os quais mostraram uma acentuada atrofia das fibras musculares; no músculo cardíaco COSTA & cols. (1983), também verificaram atrofia de fibras musculares, pem como miocitose e hiperplasia fibrosa.

Com relação a estudos relativos ã efeitos de doses excessivas de vitamina A em tecidos de animais em lactação, a literatura pertinente é relativamente escassa, sali entando, entretanto, os trabalhos de LOPES & cols. (1972) no rim, LOPES & cols. (1974) no testículo. No rim, foi evidenciado uma diminuição dos glomerulos renais além da diminuição da acidofilia dos citoplasmas celulares dos tubos contorcidos proximais nos animais que receberam doses excessivas de vitamina A durante o período da lactação. Com relação ao testículo foi observado nestes mesmos animais uma diminuição dos tamanho dos túbulos seminíferos com redução do índice mitótico no epitélio germinativo.

# 1.3. EFEITOS DA HIPERVITAMINOSE A NAS GLÂNDULAS EXOCRINAS

Os efeitos da hipervitaminose A nas glândulas exocrinas foram estudados principalmente nas glândulas salivares. REGEZI & ROWE (1972), administrando ao rato 50.000 UI diárias de vitamina A, oralmente, durante 16 dias, verificaram na glândula submandibular, hiperplasia e hipertrofia do retículo endoplasmático rugoso e do complexo de Golgi, fendas no RER, for mação prematura de grânulos de secreção e espaços acinares dilatados. Estes achados últra-estruturais foram interpretados como hiperatividade glandular.

Estes mesmos autores, administrando 10.000 UI de vitamina A, oralmente, a cada 2 dias durante 16 semanas, observaram na glândula submandibular degeneração do RER, vacuolização acinar, degranulação ribossômica e restos degenera dos dos citoplasmas. Observaram células degeneradas dos ductos estriados. Tal quadro foi interpretado como o de exaustão glandular. Estudando a glândula sublingual do rato submetido à hipervitaminose A, MODIS & cols. (1972), verificaram que as mucinas eram abundantes e fortemente coráveis pelo azul de Alcian, pelo PAS e que eram metacromáticas; e que os ácinos se encontravam dilatados e repletos de muco filamentoso.

LOPES & cols. (1973), estudando os efeitos de doses excessivas de vitamina A nas glandulas salivares linguais posteriores do rato, observaram, na glandula de WEBER, uma diminuição no tamanho das celulas acinares e dos núcleos, com diminuição da basofilia citoplasmática e do conteúdo de mucopolissacarideos neutros e acidos. Estas alterações foram também observadas nas glandulas de VON EBNER, porem com menos evidência. Tais resultados foram também observados por PETENUSCI & cols. (1976), tendo estes autores verificado aínda que estas glandulas apresentavam es truturas normalizadas apos 60 dias de recuperação da hipervitamino se.

LOPES & cols. (1974) e PETENUSCI & cols. (1976), estudando a glandula sublingual do rato hipervitaminotico A, verificaram acinos diminuidos em tamanho, com celulas mais baixas e núcleos menores. Os granulos citoplasmaticos apresen taram-se esparsos e reduzidos em número. Os ductos estriados evidenciaram também, redução em tamanho, assim como acidofilia cito plasmatica menos intensa. Observaram ainda diminuição do conteúdo de mucopolissacarideos neutros e acidos no produto de secreção da glandula. Também a sublingual mostrou histologicamente sinais evidentes de normalização apos 60 dias de recuperação.

Com relação a glandula submandibular de ratos submetidos a hipervitaminose A, PETENUSCI & cols. (1976), evidenciaram acinos e ductos diminuídos em tamanho. Em alguns animais, os ductos demonstraram desorganização, com núcleos diminuídos em tamanho e nem sempre localizados na porção basal da celula. Os granulos citoplasmáticos apareciam rarafeitos por todo o citoplasma celular. Apos 60 dias de recuperação, a glandula mostrou-se histologicamente semelhante a dos controles.

ROSA & cols. (1976) observaram que o conteudo em acido sialico e hexosaminas estava diminuído nas glandulas sublingual e submandibular do rato. Entretanto, nenhuma alteração foi observada na glandula parotida.

Em 1977, PICCOLO & cols., estudando os efeitos da hipervitaminose A nas glandulas salivares submandibular, parotida, sublingual e linguais posteriores do cobaio, ve rificaram as mesmas alterações descritas para o rato.

Em um estudo sobre os efeitos da hipervitaminose A cronica nas glandulas submandibular e sublin gual do rato, BUONAROTT & cols. (1977), verificaram não haver diferença estrutural nestas glandulas, quando o animal recebeu 50 UI de vitamina A/grama de peso corporal, durante 53 dias; entretanto, quando o rato recebeu 70 UI da vitamina A/grama de peso corporal, durante 68 dias houve uma diminuição do conteúdo cito plasmatico de acido sialico.

Estudos morfométricos de glandu - las salivares de ratos submetidos a hipervitaminose A foram realizados por LOPES & cols. (1980) na glandula sublingual, por LOPES & cols. (1980) na glandula submandibular e na glandula parótida por LOPES & cols. (1979). Os achados morfométricos pela utiliza - ção da técnica de CHALKLEY (1943), cariometria e calculo da area acinar confirmaram os achados histológicos anteriormente estuda - dos por outros autores.

Com relação à estudos da vel reversibilidade das alterações observadas nas glandulas saliyares de ratos submetidos à hipervitaminose A podemos citar trabalhos de LOPES & cols. (1979), os quais observaram na glandula submandibular que o volume nuclear das células glandulares se nor maliza apos 60 dias de recuperação, enquanto a area dos acinos e dos ductos estriados apresentaram normalização somente 90 dias de recuperação. Para a glandula lingual posterior de WEBER os estudos da reversibilidade a hipervitaminose A feitos por LO-PES & cols. (1980) demonstraram uma reversão ao estado de normali dade das alterações nas estruturas celulares, somente apos 90 dias de recuperação. Observações semelhantes foram feitas por LOPES & cols. (1981) com relação à glandula sublingual.

D estudo morfométrico da reversibilidade das alterações de glândulas palatinas de ratos submeti dos à hipervitaminose A foi realizado por LOPES & cols. (1982), e estes autores observaram um retorno ao normal desta glândula em apenas 30 dias de recuperação.

O papel desempenhado pela vitamina A, quando administratada em excesso em outras glandulas exocrinas, e bastante interessante. A glandula lacrimal extra-orbitária apresentou as celulas acinares aumentadas de volume, com contornos mais nítidos e com aumento do produto de secreção e os núcleos maiores. Alem disso, um aumento da poliploidia nuclear foi evidenciado, dando a glandula um aspecto estrutural envelhecido (COSTA & cols., 1979).

Com relação à glandula nasal lateral do rato, a hipervitaminose A não provocou alteração estrutural na porção mucosa, entretanto, a porção serosa mostrou acinos menores, com celulas mais baixas, de citoplasma menos volumoso com núcleos menores e picnóticos quando comparados ao controle.

COSTA & cols. (1978 ) realizaram um estudo histopatológico e morfométrico na glandula de HARDER do rato. Esta glandula mostrou-se muito sensível aos efeitos provoca dos pela vitamina A,com algumas alterações estruturais muito seme lhantes as apresentadas pelas glandulas salivares, isto é, aci-nos de menor volume, celulas mais baixas e no citoplasma uma diminuição da eosinofilia e da quantidade de vacuolos. Muitas das celulas acinares apresentaram-se sem forma definida e rompidas; a luz dos acinos apresentou um produto de secreção esparso no seu interior e os núcleos menos basófilos e com cromatina menos den sa. Esta glandula mostrou um aumento do tecido conjuntivo fibroso entre os acinos.

#### 1.4. EFEITOS NAS MEMBRANAS CELULARES

A administração de doses excessivas de vitamina A no rato, camundongo, cobaio, coelho e galinha, provoca, inicialmente, um aumento da permeabilidade e posterior mente a destruição das membranas das organelas celulares e da pro

pria membrana plasmatica (FELL & THOMAS, 1960; THOMAS, McCLUSKEY, POTTER & WEISSMANN, 1960; DINGLE, 1961; DINGLE, LUCY & FELL, 1961; LUCY, DINGLE & FELL, 1961; FELL, DINGLE & WEBB, 1962; DINGLE & LUCY, 1962; JANOFF & McCLUSKEY, 1962; WEISSMANN, UHR & THOMAS, 1963; GLAUERT, DANIEL, LUCY & DINGLE, 1963; LUCY, LUSCOMB & DINGLE, 1963; DANIEL, DINGLE, GLAUERT & LUCY, 1966; GLICK & KERR, 1968).

Estes autores verificaram também que o rompimento das membranas provocava um aumento da atividade enzimática resultante da ruptura dos lisossomos e consequente liberação de enzimas, tais como: catepsina, fosfatase ácida, be ta-glucoronidase, beta-hexosaminidase, hialuronidase e arilsulfatase.

APPELMANS & DE DUVE (1955) e DINGLE (1961), estudando celulas fracionadas do figado de rato, ve rificaram que a liberação daquelas enzimas pelos lisossomos, dependia da temperatura, da concentração hidrogenionica, do meio e da concentração de vitamina A.

MORRIS & STEELE (1974), utilizando embriões de ratos cultivados em meio de cultura contendo vitamina A, observaram numerosas alterações citológicas, tais como: au mento da área de superfície da membrana plasmática e das membranas das organelas, autofagia e heterofagia dos vacuolos, peque nos vacuolos abertos na superfície celular, distorção dos núcleos com aumento dos espaços intra-membranosos, condensação mitocondrial e morte celular.

YOUNG, POWELL & McMILLAN (1971 , citado por RAM & MISRA, 1974), em estudos dos hepatócitos de ratos mantidos em meio de cultura com fenobarbital, observaram proliferação rapida do retículo endoplasmatico rugoso. Em face destes achados, RAM & MISRA (1974) tentaram previnir esta proliferação da organela adicionando ao meio de cultura, fenobarbital e vitamina A. Estes autores puderam verificar que a proliferação rapida do retículo endoplasmatico rugoso era aditiva e que a membra-

na deste reticulo se comportava de modo diferente das demais membranas celulares frente à vitamina A.

# 1.5. INTERAÇÃO VITAMINA A E ADRENAL

O mecanismo de ação da vitamina A na produção de numerosas lesões tanto na hipo como na hipervitaminose A resultam não somente como consequência da ação direta da vitamina A nas membranas celulares, mas também da ação indireta de fatores endocrinos, mais especificamente com relação a glandu - la adrenal.

AMES & cols. (1954), verificaram que ratos submetidos à hipervitaminose A apresentaram hiper - trofia e hiperfunção da cortex da adrenal. Esses dados foram confirmados por TAKEKOSHI (1964).

RAM & MISRA (1975), mostraram no rato, que o excesso de vitamina A provocava um aumento na produção e liberação de corticosterõides pela adrenal. Estes corticos - terõides lançados na circulação protegiam os lisossomos celulares da ação labilizante da vitamina A. Porem, quando a estimula - ção da adrenal pela vitamina A era prolongada, a quantidade de adrenocortico de sintetizado e liberado diminuía, provocando, então, desintegração lisossomica nas celulas.

# 1.6. PROPOSIÇÃO

Do que foi exposto, depreende- se que, a ação da vitamina A sobre a glandula de HARDER do rato, foi pouco estudada.

Levando-se em consideração, ainda que a literatura é bastante escassa em relação aos efeitos da hi - pervitaminose A em animais em lactação, está assim plenamente justificado o interesse na execução do presente trabalho, o qual foi planejado com os seguintes objetivos:

- 1) Verificar as possíveis alterações ponderais e estruturais presentes na glândula de HARDER de ratos em lactação, através de técnicas biométricas e histopatológicas.
- 2) Caracterizar quantitativamente, as possíveis lesões glandulares presentes, causadas pelo excesso de vitamina A ingerida durante a lactação, por meio de técnicas morfométricas.

2. MATERIAL E METODOS

### 2.1. MATERIAL

Foram utilizados 50 ratos albinos, machos (<u>Rattus norvergicus</u>, variedade Wistar), obtidos do Biotério da Escola de Farmácia e Odontologia de Alfenas. Estes animais representam filhos recem-nascidos e em lactação de 10 ratas gravidas divididos em 10 grupos:

- GRUPO 1 Tratado: 5 animais de 5 dias cujas mães receberam injeções diárias de 20.000 UI de vitamina A\* durante 5 dias consecutivos, intra-peritonial mente.
- GRUPO 2 Controle: 5 animais de 5 dias cujas mães receberam injeções diārias, in traperitonialmente, de solução sali na (solução de NaCl a 0,85%) e que serviram de controle para o Grupo 1.

<sup>\*</sup> AROVIT (produtos Roche) Palmitato de vitamina A em solução co loidal hidromiscivel.

- GRUPO 3 Tratado: 5 animais de 10 dias cujas mães receberam injeções diárias de 20.000 UI de vitamina A.durante, 10 dias consecutivos, intraperitonialmente.
- GRUPO 4 Controle: 5 animais de 10 dias cujas mães receberam injeções diarias,intraperitonialmente, de solução salina (solução de NaCl a 0,85%) e que serviram de controle para o Grupo 3.
- GRUPO 5 Tratado: 5 animais de 15 dias cujas mães receberam injeções diarias de 20.000 UI de vitamina A, durante 10 dias consecutivos, intraperitonial mente.
- GRUPO 6 Controle: 5 animais de 15 dias cujas mães receberam injeções diārias,intraperitonialmente, de solução salina (solução de NaCl a 0,85%) e que serviram de controle para o Grupo 5.
- GRUPO 7 Tratado: 5 animais de 20 dias cujas mães receberam injeções diarias de 20.000 UI de vitamina A, durante 10 dias consecutivos, intraperitonialmente.
- GRUPO 8 Controle: 5 animais de 20 dias cujas mães receberam injeções diarias de solução salina (solução de NaCl a 0,85%), intraperitonialmente e que serviram de controle para o Grupo 7.
- GRUPO 9 Tratado: 5 animais de 25 dias cujas mães receberam injeções diárias de 20.000 UI de vitamina A, durante 10

dias consecutivos, intraperionial - mente.

GRUPO 10 - Controle: 5 animais de 25 dias cujas mães receberam injeções diárias de solução salina (solução de NaCl a 0,85%), intraperitonialmente e que serviram de controle para o Grupo 9.

As ratas de todos os Grupos estudados receberam ração comercial e agua "ad libitum", e para cada uma delas, apos o nascimento, foi mantida uma ninhada de 8 filhotes.

# 2.2. TECNICA DE DISSECAÇÃO E PESAGEM

Os filhotes de todos os Grupos foram pesados diariamente e sacrificados aos 6, 11, 16, 21 e 26 dias de vida pos-natal (5 animais de cada Grupo, totalizando 50 animais) por inalação de éter anestêsico.

Em seguida, foram dissecadas as glandulas de HARDER do lado direito e do lado esquerdo dos animais. As glandulas do lado direito foram colocadas em uma solução de Alfac (alcool 80° - 85 ml, formaldeido-10 ml e acido acetico glacial-5 ml), para fixação. As glandulas do lado esquerdo foram colocadas numa solução de BOUIN (formaldeido-15 ml, acido picrico -85 ml e acido acetico glacial-5 ml), para fixação. Apos 24 horas, as glandulas fixadas em Alfac e BOUIN foram colocadas em alcool 70°. Em seguida, as glandulas esquerdas, fixadas em BOUIN, fo ram pesadas em balança de precisão (Micronal 0,001mg).

#### 2.3. TECNICAS HISTOLÕGICAS

As glandulas de todos os animais

foram desidratadas em alcool, numa serie crescente de graduações, diafanizadas em xilol e incluídas em parafina. Os blocos foram cortados com 7 micrometros de espessura e os cortes foram corados pela hematoxilina-eosina (HE) para observação ao microscópio de luz. Neste trabalho foram utilizadas apenas as glandulas esquerdas, fixadas em solução de BOUIN.

# 2.4. TECNICAS MORFOMETRICAS

#### 2.4.1. Técnica de CHALKLEY

Com a finalidade de ava liar percentualmente as estruturas glandulares, empregou-se neste estudo a técnica de CHALKLEY (1943). Utilizou-se, para tal, ocular preparada com 4 pontos padrão e uma objetiva de imersão (100X). Cada ponto correspondia a extremidade livre de uma e as estruturas histológicas escolhidas (citoplasma, núcleo, intersticio e luz) das glandulas, foram registradas individualmen te. Foram determinadas quantas vezes as estruturas eram das pelos pontos padrão e contados 1000 pontos para cada glandula de cada animal. Os valores numéricos obtidos das es truturas glandulares dos animais tratados e controles foram transformados em valores percentuais. Esta percentagem de pontos por estrutura indica o volume relativo para cada estrutura. Para desses volumes relativos nos diversos grupos, os dados percentu ais sofreram uma transformação angular.

#### 2.4.2. Cariometria

Os volumes reais dos núcleos das celulas glandulares dos diversos grupos experimentais foram obtidos atraves de medidas cariométricas.

Os cortes foram focaliza - dos ao microscópio óptico, com objetiva de imersão(100X), ao qual era adaptada uma camara clara (Olimpus).

Os núcleos das células glandulares foram projetados sobre papel, com um aumento final de 1.140X. As imagens obtidas, em número de 100 para cada animal dos grupos estudados, foram contornadas com lápis número 2, toman do-se o cuidado de considerar somente as imagens elípticas ou ar redondas dos núcleos. Para a obtenção dos volumes, os eixos maior e menor foram medidos, obtendo-se ainda por meio da média geomé - trica dos dois primeiros, um terceiro eixo. Em seguida, foi aplicada a formula do volume do elipsoide de acordo com VALERI & cols. (1967).

$$V = \frac{1}{6} \cdot D_1 \cdot D_2 \cdot \sqrt{D_1 \cdot D_2}$$

onde  $D_1$  e  $D_2$  representam os eixos maior e menor respectivamente.

2.4.2.1. Câlculo da Constante para a equação do volume elipsolde, quando a ampliação e de 1.140X.

A equação matemática do volume

$$V = \frac{4}{3}$$
 ¶ . a . b. c

elipsoide é:

em que a, b, c, são os três semi-eixos do solido. Se quisessemos escrever a equação em termos de eixos e não de semi-eixos, tería-mos:

$$V = \frac{4}{3} \cdot 1 - \frac{D_1}{2} \cdot \frac{D_2}{2} \cdot \frac{D_3}{2}$$

$$V = \frac{1}{6} \cdot D_1 \cdot D_2 \cdot D_3$$

No caso do núcleo de uma celula que é observado em duas dimensões, apenas o terceiro eixo pode ser estimado como a média geométrica dos outros dois. Temos assim:

$$V = \frac{\P}{6} \cdot D_1 \cdot D_2 \setminus D_1 \cdot D_2$$

D indica o comprimento real dos eixos em micrometros. Como o valor medido na projeção é feito em milimetros, o valor D valerá 1.000X menos que este valor em milimetros. Por sua vez o valor 1.000 D está ampliado 1.140X, razão porque é preciso dividí-lo por 1.140X para ter-se o valor real do eixo. As sim, temos:

$$V = \frac{9}{6} \cdot \frac{1.000 D_1}{1.140} \cdot \frac{1.000 D_2}{1.140} \cdot \sqrt{\frac{1.000D_1.1000D_2}{1.140}}$$

Efetuando-se as operações aritmeti - cas indicadas, tem-se:

$$V = 0.35341426 \cdot D_1 \cdot D_2$$
  $D_1 \cdot D_2$ 

# 2.5. TECNICAS ESTATÍSTICAS

Para o estudo dos volumes relativos apos transformação angular das estruturas estudadas com o emprego da técnica de CHALKLEY (1943), (citoplasma, nú-cleo, interstício e luz) entre grupos controles e tratados, empregou-se a análise de variancia.

Com o objetivo de comparar-

se os dados obtidos com o emprego da cariometria empregou-se teste não paramétrico da mediana (SIEGEL, 1956).

2.5.1. Teste da Mediana (SIEGEL, 1956)

Nos casos em que se desconhece a distribuição das populações das quais provem as amos tras, a comparação destas amostras se aplica com maior sucesso que a comparação das médias.

Esse teste permite concluir se duas amostras provem de populações que tem a mesma mediana.

O procedimento pratico consiste em ordenar, conjuntamente, os valores das duas amostras, de maneira a obter o valor central (mediana) correspondente a todos os dados da amostragem.

A seguir, constrói - se um quadro, como o que se segue:

	AMOSTRA 1	AMOSTRA 2	TOTAL
Valores menores que a mediana	Α	Β <sub>.</sub>	A + B
Valores iguais ou maiores que a mediana	С	D	C + B
Total	A + C	B + D	N=A+B+C+D

A variavel X<sup>2</sup> e calculada pela

formula:

$$\chi^2 = \frac{N (|A.D. - B.C - | \frac{N}{2})^2}{(A+B). (C+D). (A+C). (B+D)}$$

Estabelecendo  $\alpha$ , que neste trabalho foi tomado a um nível de 95% ( $\alpha$  = 0,05), e com l grau de liberdade, obtem-se o valor de  $\chi^2$  tabelado.

A hipotese  $H_0$  e rejeitada sempre que o valor calculado de  $\chi^2$  for maior ou igual ao seu valor tabelado.

?

3. RESULTADOS

### 3.1. ASPECTO GERAL DOS ANIMAIS

A dosagem de vitamina A recebida pelos filhotes através do leite materno, não provocou mal formações visíveis nesses animais considerados tratados. Pode-se observar que esses animais, durante todo o experimento, apresentaram um comportamento normal no que concerne a postura, movimentos corporais, apetite e desenvolvimento. Não foi observada morte prematura em nenhum caso.

### 3.1.1. Peso Corporal

Na figura 1 estão projetadas as médias dos pesos corporais dos ratos controles e tratados com vitamina A e sacrificados no 69 día de vida (Grupos 2 e 1).

Nesta figura, observa-se que o peso corporal dos animais controles variou entre 5,70g (1º dia do experimento) e 11,68g (6º dia do experimento), apresentan do um índice de crescimento de 0,99, enquanto que nos animais tratados com vitamina A, (Grupo 1), o peso corporal situou-se entre 6,70g (1º dia do experimento) e 12,92g (6º dia do experimento), com, portanto, um índice de crescimento igual a 1,03. Estes dados sugerem um crescimento semelhante entre os dois Grupos de animais.

Os animais submetidos ao tratamento com vitamina A e sacrificados no 110 dia de vida, apresentaram da mesma forma que os Grupos iniciais um desenvolvimento semelhante. Assim é que os animais controles variavam de 6,38g(10 dia do experimento) para 18,34g (110 dia do experimento) e os tratados de 6,02g (10 dia do experimento) para 16,66g (110 dia do experimento), mostrando um índice de crescimento igual a 1,08 e 0,96, respectivamente (Figura 2).

Somente os Grupos de animais controles e tratados sacrificados no 16º dia, apesar de apresentarem crescimentos semelhantes, mostraram uma pequena varia - ção de peso quando comparados, ou seja: os animais controles se desenvolveram com maior peso do que os tratados. Tais pesos foram - 7,60g (1º dia) e 31,30g (16º dia) para os controles (îndice de crescimento = 1,48), 6,44g (1º dia) e 25,80g (16º dia) para os tratados (îndice de crescimento = 1,21), (Figura 3).

As figuras 4 e 5 mostram que o crescimento dos ratos controles e tratados, sacrificados no 219 e 269 dias de vida apresentaram um comportamento semelhante, sem diferenças marcantes dos pesos dos controles e tratados. Os pesos corporais médios dos ratos controles, sacrificados ao 219 dia foram: 5,70g (19 dia) e 37,06g (219 dia), apresentando um indice de crescimento igual a 1,49, enquanto os tratados variaram seu peso de 5,70g (19 dia) para 34,84g (219 dia), apresentando um indice de crescimento igual a 1,38. Para os animais sacrificados no 269 dia de vida os pesos corporais absolutos foram os seguin tes: controles - 6,00g (19 dia) para 57,02g (269 dia) (indice de crescimento = 1,96); tratados - 6,78g (19 dia) para 61,14g (269 dia) (indice de crescimento = 2,09).

Pelos Indices de crescimento, verificamos que os ratos controles em todos os Grupos estudados, quando comparados aos tratados, apresentaram um crescimento bastante semelhante.

#### 3.1.2. Peso Glandular

Quando examinamos a tabela 1, verificamos que no final do experimento, para cada Grupo estudado, os valores dos pesos medios das glândulas de HARDER dos animais tratados com vitamina A e sacrificados no 60, 110, 160, 210 e 260 dias de vida (3,6mg, 7,1mg, 16,4mg, 25,1mg e 39,4mg respectivamente) são sempre maiores que os dos ratos controles (3,5mg,

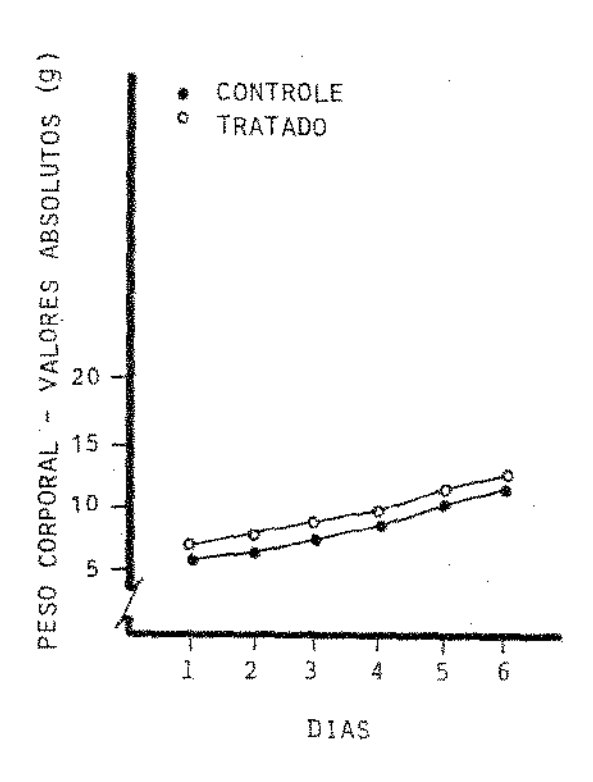


FIGURA 1 - Projeção gráfica das medias dos pesos corporais dos animais controles e tratados sacrificados no 60 dia de vida.

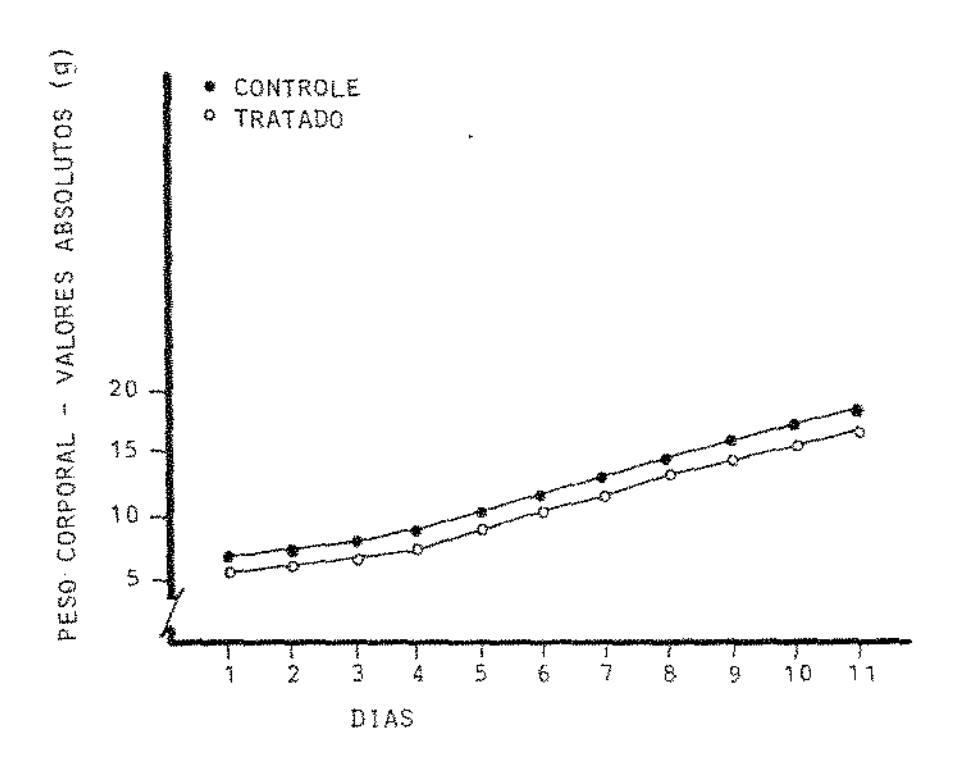


FIGURA 2 - Projeção gráfica das medias dos pesos corporais dos animais controles e tratados sacrificados no 110 día de vida.

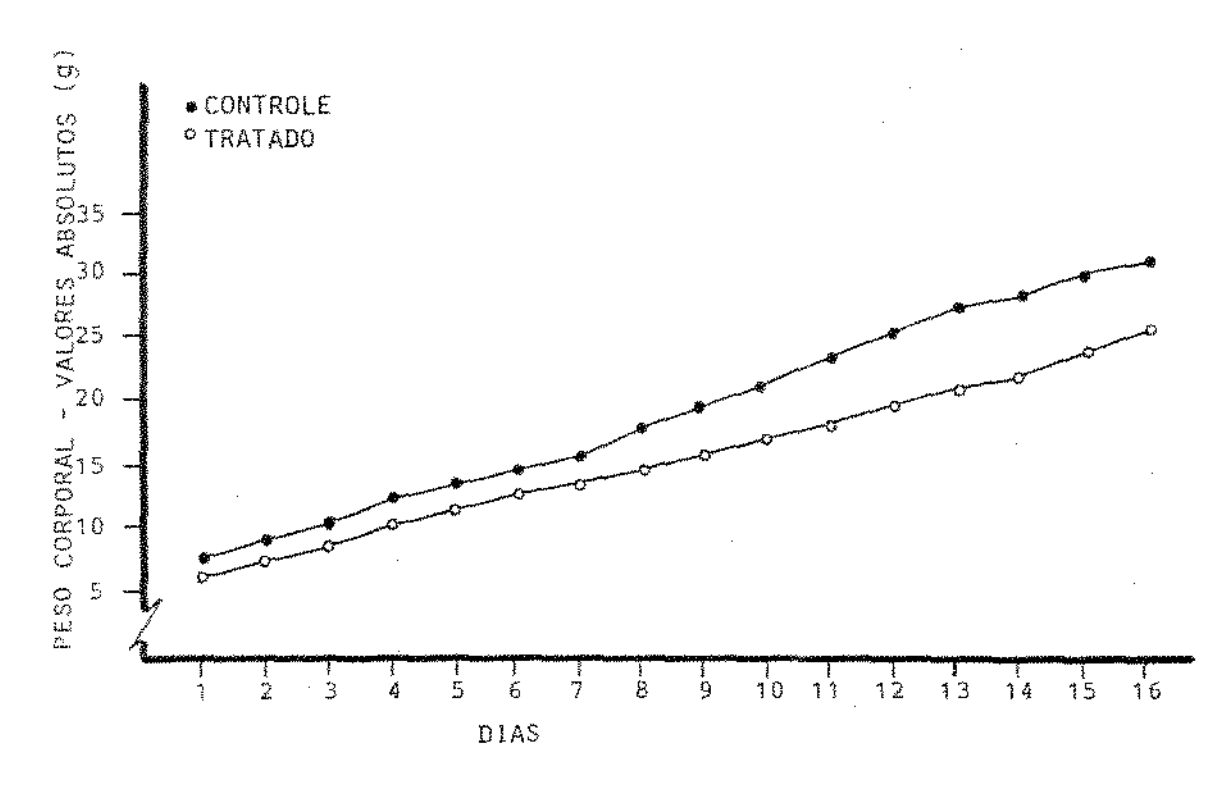


FIGURA 3 - Projeção gráfica das médias dos pesos corporais dos animais controles e tratados sacrificados no 160 dia de vida.

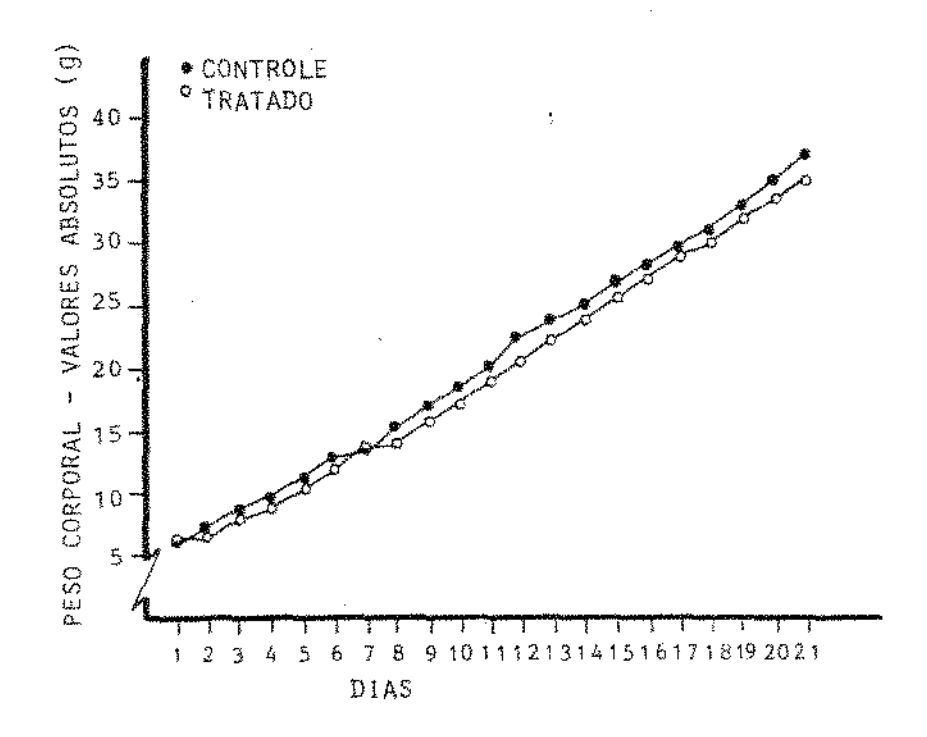


FIGURA 4 - Projeção gráfica das médias dos pesos corporais dos animais controles e tratados sacrificados no 219 dia de vida.

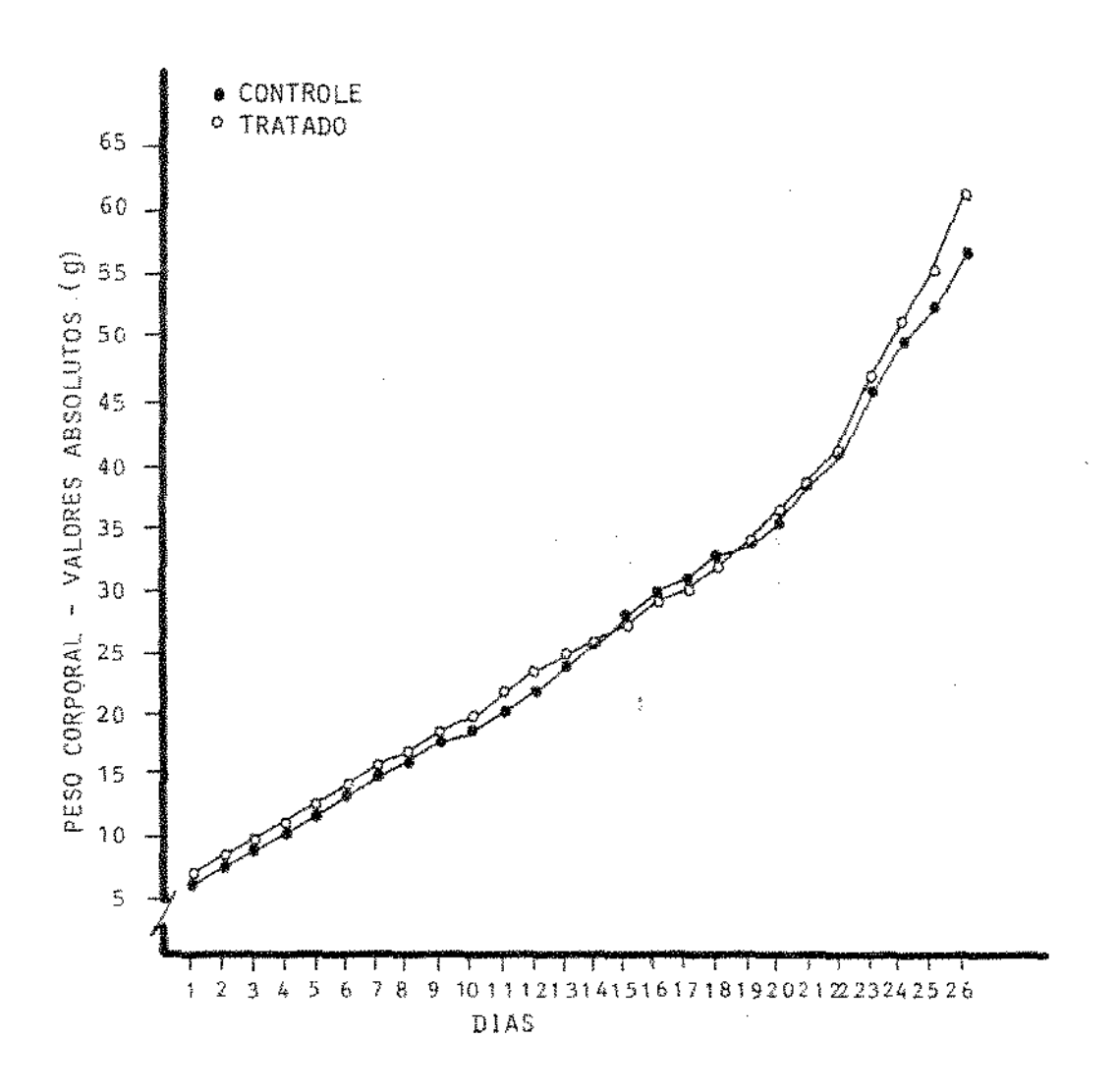


FIGURA 5 - Projeção gráfica das médias dos pesos corporais dos a nimais controles e tratados sacrificados no 260 dia de vida.

4,7mg, 13,8mg, 24,5mg e 30,2mg, respectivamente), quando comparados aos seus pares.

TABELA 1 - Média dos pesos das glândulas de HARDER dos animais controles e tratados.

CONTRO	DLES		TRATADOS	
GRUP0	PESO MEDIO(mg)	GRUPO	PESO MEDIO(mg)	
2	3,5	go.	3,6	
4	4,7	3	7,1	
6	13,8	5	16,4	
8	24,5	7	25,1	
10	30,2	9	39,4	

Do exposto, conclui-se que a vitamina A, provocou uma hiperplasta glandular nos animais tratados quando comparados aos controles durante todo o período estudado.

# 3.1.3. Resultados Histológicos

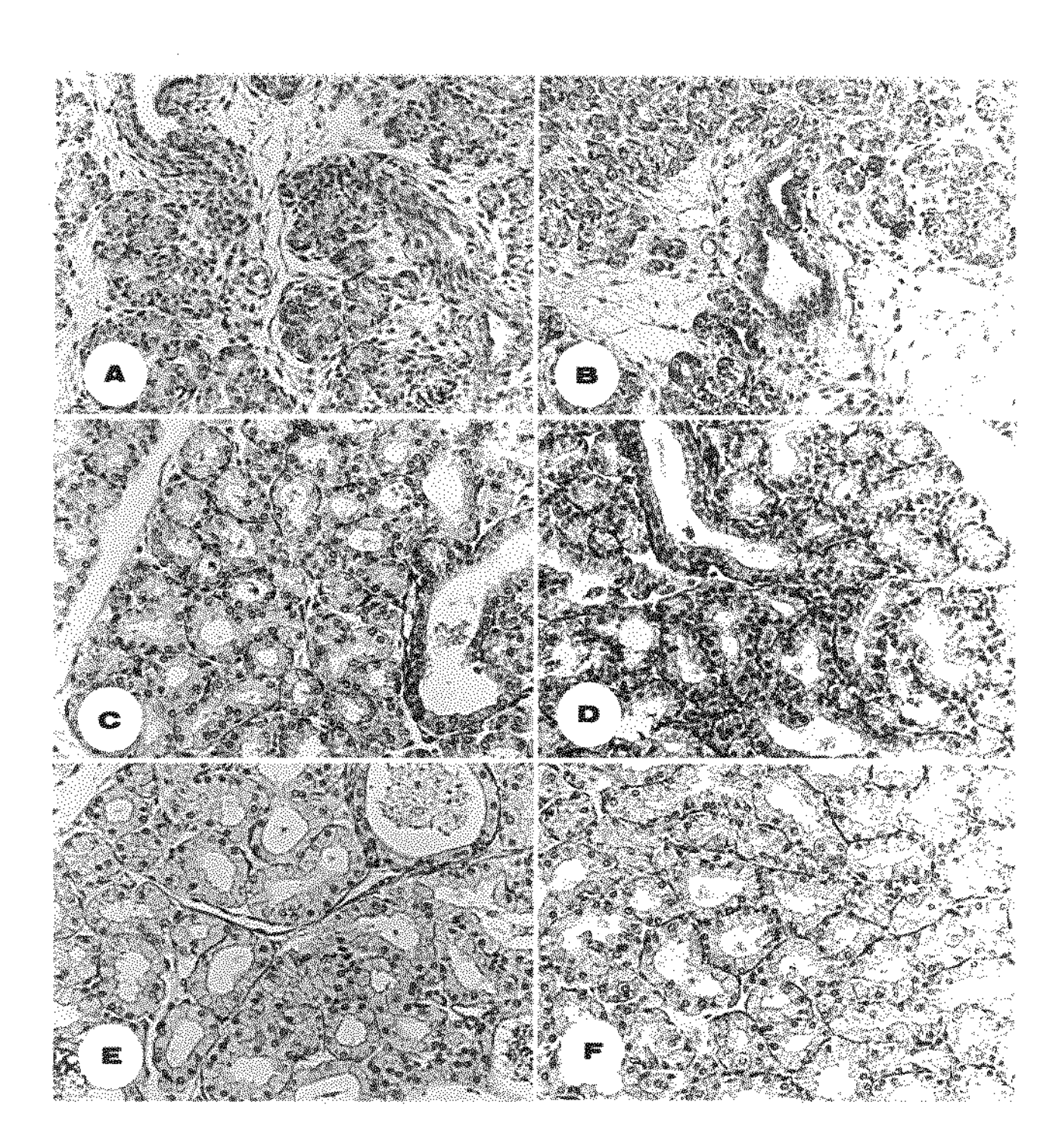
Em todos os períodos estudados a glandula de HARDER dos ratos controles mostrou-se histolo gicamente do tipo túbulo-alveolar composta com secreção apocrina. Estas glandulas estavam envolvidas por uma capsula de conjuntivo fibroso, que nos animais mais jovens mostrou-se mais espessa e nos animais mais velhos, mais delgada. Esta capsula emitiu septos para o interior dividindo-a em lóbos e lóbulos. Os acinos glandulares apresentaram-se constituídos por celulas cilindrico-piramidais altas com citoplasma repleto de vacuolos. Os núcleos das celulas secretoras, esfericos, localizados na porção basal das celulas, apresentando um nucleolo bastante evidente, corado intensamente pela hematoxilina (Figuras 6A, C, E e 7A, C e E).

Este aspecto histologico

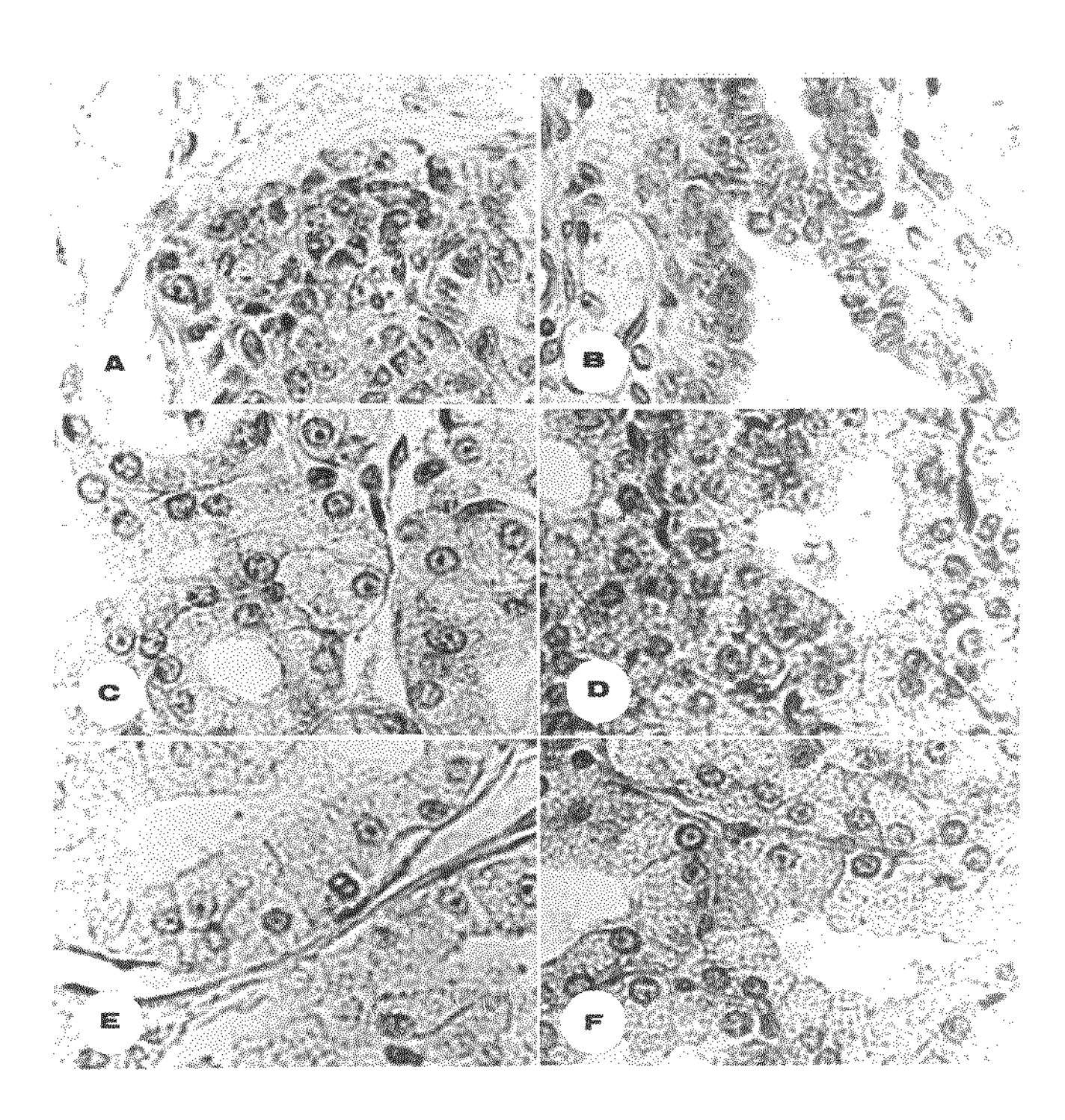
observados nos controles esta de acordo com as descrições de GRAF FLIN (1942) e COSTA & cols. (1978).

As glandulas dos tratados mostraram-se com alterações bem evidentes. Assim é o tecido conjuntivo intersticial apresentou-se aumentado em todos os períodos estudados. O citoplasma das celulas secretoras trou-se com menor altura que os controles (Figuras 6D e F e 7D e F), e menos basofilo nos animais sacrificados no 69, 119 e 160 dias de vida (Figuras 6D e 7D). Nos demais Grupos estudados o aspecto assemelhou-se aos controles. A luz acinar consequentemente apresentou-se aumentada. Um fato interessante que nos chamou atenção foi que nos tratados ocorreu um desenvolvimento mais precoce da glandula, evidenciando também, nestes animais, uma maior atividade secretora da glandula (Figuras 6B, D e F). Este foi comprovado pela observação de uma maior eosinofilia citoplasmática nos animais tratados e sacrificados no 210 e 260 dias vida, em relação aos animais controles (Figuras 6F e 7F).

- FIGURA 6 (A) Rato controle. Aspecto histológico da glandula no 69 dia de vida. HE. Aumento 150X.
  - (B) Rato tratado. Aspecto histológico da glândula no 69 dia de vida. Pode-se observar um desenvolvimento precoce da glândula, bem como uma maior quantidade do tecido conjuntivo intersticial. HE. Aumento 150X.
  - (C) Rato controle (169 dia). Acinos glandulares normais, com concentração do produto de secre ção na luz acinar. HE. Aumento 150X.
  - (D) Rato tratado (160 dia). Aspecto histológico da glândula. Observa-se uma maior atividade secretora da glândula, bem como a luz acinar aumentada. HE. Aumento 150X.
  - (E) Rato controle (260 dia). Aspecto histológico da glandula. HE. Aumento 150X.
  - (F) Rato tratado (260 día). Aspecto histológico da glandula. Observa-se, além de uma estrutura glandular semelhante a normal, uma acidofi lía citoplasmática acentuada. HE. Aumento 150 X.



- FIGURA 7 (A-C-E) Ratos controles. Aspectos histológicos da glandula normal de ratos com 6, 16 e 26 días de vida, respectivamente. HE. Aumento 500X.
  - (B-D-F) Ratos tratados. Aspectos histológicos das glándulas dos animais hipervitaminóticos com 6, 16 e 26 días de vida, respectivamente. Observa-se uma menor altura das células secretoras, gránulos de secreção bem evidencia dos e uma maior acidofilia citoplasmática, quando comparados aos controles. HE. Aumento 500X.



## 3.2. RESULTADOS MORFOMETRICOS

## 3.2.7. Técnica de CHALKLEY

Na Tabela 2 estão expres - sos os valores percentuais e as medias destes valores das estruturas glandulares estudadas, isto e, citoplasma e núcleo das celulas secretoras, interstício (tecido conjuntivo, vasos e espaços) e luz dos acinos das glandulas de HARDER dos animais controles e tratados, sacrificados no 6º dia de vida, obtidos com o emprego da tecnica de CHALKLEY (1943).

A representação gráfica destes valores está expressa na Figura 8.

TABELA 2 - Valores percentuais, media destes valores e erro padrão das medias de citoplasma, núcleo, interstício e luz das glândulas de HARDER de ratos controles e trata dos, sacrificados no 69 dia de vida.

		- 3	,				
CITOPL	.ASMA	NO	CLEO	INTER:	STICIO	LU	Z
C	T	C	T	C .	T	C	T
48,2	37,7	25,8	26,2	24,2	31,2	1,8	4,9
46,0	38,1	27,1	26,4	25,0	30,1	1,9	5,5
45,2	36,9	27,3	27,3	25,1	31,2	2,4	4,6
47,4	37,5	24,8	26,1	26,1	31,1	1,7	5,3
44,8	36,8	25,5	24,8	27,3	31,8	2,4	6,6
X 46,32	₹ 37,40	26,10	Ž 26,16	∑ 25,54	X 31,08	X 2,04	, X 5,38
(-1,45)	(-0,55)	( <sup>+</sup> 1,07)	(-0,90)	$(^{\pm}1,19)$	(-0,67)	( <sup>+</sup> 0,34)(	<del>-</del> 0,77)

Analisando-se esta Tabela,

verificou-se que, para o citoplasma das celulas secretoras, foram obtidos os valores percentuais medios iguais a 46,32 ( $^+$ 1,45) para os controles e 37,40 ( $^+$ 0,55) para os tratados. Quando da

analise de variancia apos transformação angular (Tabela 7), verificou-se uma diferença estatisticamente significante entre os valores encontrados nos animais controles em relação aos tratados.

Observando-se os valores percentuais médios para os núcleos, verificou-se não haver diferença entre esses valores para ambos os Grupos de animais estudados, isto  $\tilde{\epsilon}$ , 26,10 ( $^{\pm}$  1,07) para os controles e 27,16 ( $^{\pm}$  0,90) para os tratados. A analise de variância comprovou este fato (Tabela 7).

Para o tecido intersticial, a diferença dos valores medios obtida para os animais controles  $(25,54 \pm 1,19)$  e tratados  $(31,08 \pm 0,61)$  apresentou diferença esta tisticamente significante apos a aplicação da técnica de análise de variância (Tabela 7).

Com relação a luz dos acinos, obteve-se um valor medio igual a 2,04 ( $^{\pm}$  0,34) para os contro les, enquanto os tratados apresentaram-se com valores medios iguais a 5,38 ( $^{\pm}$  0,77). A análise de variância comprovou uma diferença estatisticamente significante entre estes dados destes Grupos (Tabela 7).

A vitamina A provocou uma diminuição relativa no citoplasma das celulas secretoras e um aumento tanto do tecido intersticial quanto da luz glandular dos animais tratados, quando comparado aos controles.

Na Tabela 3, acham-se expressos os valores percentuais e as médias destes valores das estruturas estudadas das glândulas de HARDER dos animais controles
e tratados, sacrificados no 11º dia de vida, obtidos com emprego
da técnica de CHALKLEY (1943). Na Figura 9, estão representados,
graficamente, estes valores.

Apos a analise desta Tabe - la, verificou-se ainda uma diferença entre os valores do citoplas ma  $(44,56 \pm 1,97 \text{ nos controles e } 41,50 \pm 0,71 \text{ nos tratados})$ , como também para a luz acinar  $(40,70 \pm 0,63 \text{ para os controles})$  e 6,88

nos tratados). Nestes animais não foram observadas diferenças entre os valores percentuais dos núcleos (25,18  $^{\pm}$  0,94 nos controles e 25,56  $^{\pm}$  2,50 nos tratados) e do tecido intersticial (4,70  $^{\pm}$  0,73 nos controles e 6,88  $^{\pm}$  0,68 nos tratados). A análise de variância comprovou estes fatos (Tabela 8), mostrando que a vitamina A nestes animais provocou uma diminuição relativa do citoplas ma e um aumento da luz acinar. Com relação ao tecido intersticial, mesmo que este tenha aumentado aparentemente nos tratados, estatisticamente, não foi significante.

TABELA 3 - Valores percentuais, media destes valores e erro padrão das medias de citoplasma, núcleo, interstício e luz das glandulas de HARDER de ratos controles e trata dos, sacrificados no 119 dia de vida.

CITOPL	ASMA	NOC	LE0	INTERS	TCIO	.LU	Z
C	-	С	Ŧ	C	Ţ	€ .	T
43,8	37,7	26,3	23,2	24,6	26,8	5,3	7,8^
47,4	42,2	24,6	24,6	23,9	26,4	4,7	6,8
44,5	40,6	25,4	26,3	24,7	27,2	5,4	5,9
45,1	41,0	25,7	26,6	24:6	25,4	4,6	7,0
42,0	41,5	23,9	25,1	30,0	26,5	4,1	6,9
Σ	Ž	Ÿ	Σ	Χ̈́	X	Σ̈́	X
44,56	41,50	25,18	25,16	25,56	26,46	4,70	_6,88
$(\frac{1}{2},97)$	( <del>+</del> 0,71)	(-0,94)	$(\frac{1}{2}, 37)$	$(\frac{1}{2},50)$	( <sup>+</sup> 0,67)	$(^{+}0,63)$	(40,68)

Quando se analisou a Tabe-

la 4, a qual mostra expressos os valores percentuais e as medias das estruturas escolhidas das glândulas de HARDER dos animais con troles e tratados, sacrificados no 169 dia de vida, obtidos com o emprego da técnica de CHALKLEY (1943), verificou-se para o cito plasma dos animais controles um valor medio igual a  $55,40 \ (^{+}1,93)$ , enquanto os tratados apresentaram-se com valores iguais a  $50,14 \ (^{+}1,59)$ . A análise de variancia (Tabela 9) demonstrou uma diferença estatisticamente significante entre os valores destes Grupos.

Com relação ao tecido intersticial também foram observadas diferenças entre os valores destes 2 Grupos, ou seja,  $14,64 \ (^{+}0,88)$  para os controles e  $19,90 \ (^{+}0,80)$  para os tratados. Estas diferenças foram comprovadas estatisticamente pela análise de variância (Tabela 9).

Os valores percentuais, me dias dos núcleos das celulas secretoras e da luz acinar, apresentaram-se semelhantes entre os 2 Grupos estudados, ou seja, 19,06 ( $^{\pm}$  1,14) para os controles e 18,60 ( $^{\pm}$  0,85) para os tratados e 10,90 ( $^{\pm}$  1,30) para os controles e 11,12 ( $^{\pm}$  1,40) para os tratados, respectivamente. Este fato foi comprovado com a utilização da análise de variância (Tabela 9).

A representação gráfica dos valores percentuais destas estruturas está representada na Figura 10. Nestes grupos de animais a vitamina A provocou uma diminuição do citoplasma e um aumento do tecido intersticial das glandulas dos animais tratados em relação aos controles.

TABELA 4 - Valores percentuais, media destes valores e erro padrão das medias de citoplasma, núcleo, interstício e luz das glândulas de HARDER de ratos controles e trata dos, sacrificados no 160 día de vída.

CITOPL	ASMA	NUCI	LEO	INTERS	TCIO		UZ
С	Ţ	С	T	С	Ī	C	T
57,5	51,2	19,1	17,6	13,8	18,6	9,6	12,6
52,9	51,5	20,8	18,9	14,3	19,7	12,0	9,6
57,0	50,5	18,2	17,8	15,0	20,2	9,8	10,6
55,5	47,5	17,9	19,3	16,0	20,6	10,6	12,6
54,1	50,0	19,3	19,4	14,1	20,4	12,5	10,2
χ̄ 55,40		Х 19,06	χ 18,60	Σ 14,64	Σ 19,90	⊼ 10,90	, 11,12
(±1,93)	( <del>+</del> 1,59)	( <del>1</del> 1,74)	( <sup>+</sup> 0,85)	(±0,88)	( <sup>+</sup> 0,80	, -	

as médias de citoplasma, núcleo, interstício e luz acinar das glandulas de HARDER dos animais controles e tratados com vitamina A, sacrificados no 21º dia de vida estão representados na Tabela 5 e graficamente na Figura II.

Da sua anālise verificou - se haver ainda, neste periodo experimental, diferenças entre estruturas das glāndulas dos 2 Grupos. Assim ē que o intersticio nos animais tratados apresentou-se maior (18,70  $^{\pm}$  0,60) que os dos animais controles (14,44  $^{\pm}$  1,55). Tal fato foi comprovado com o emprego da anālise de variāncia (Tabela 10).

Com relação  $\tilde{a}$  luz acinar, a analise da Tabela 5 e o emprego da analise de variancia (Tabela 10) comprovaram uma diferença estatisticamente maior nos animais controles em relação aos tratados (17,36  $^+$  2,72 e 12,36  $^+$  0,65, respectivamente).

A vitamina A provocou nestes animais um aumento do interstício e diminuição da luz acinar dos tratados quando comparados aos controles.

TABELA 5 - Valores percentuais, média destes valores e erro padrão das médias de citoplasma, núcleo, interstício e luz das glândulas de HARDER de ratos controles e trata dos, sacrificados no 210 dia de vida.

CITOPL	ASMA	NŪ(	CLEO	INTERS	STICIO	L	UZ
С		C	Ţ	С	T	С	T
53,4	53,0	17,7	15,4	12,1	19,5	16,8	17,9
50,9	52,1	14,0	15,8	13,6	19,0	21,5	13,1
54,7	51,6	15,2	16,8	15,7	18,6	14,4	13,0
50,3	53,5	16,1	16,5	15,3	17,9	18,3	12,1
51,2	52,9	17,5	16,9	15,5	18,5	15,8	11,7
X No no	X En Cn	χ 7ς 10	χ 16,28	X 14,44	₹ 18,70	χ 37.26	Σ 12 26
52,10 ( <sup>†</sup> 1,87)	52,62 (-0,76)	16,10 ( <sup>+</sup> 1,56)	(†0,65)	(+1,55)		( <sup>+</sup> 2,72)	12,36 ( <sup>†</sup> 0,65)

Os valores percentuais e as médias das estruturas escolhidas, citoplasma, núcleo, tecido intersticial e luz acinar das glândulas de HARDER dos animais con troles e tratados, sacrificados no 260 dia de vida, obtidos com o emprego da técnica de CHALKLEY (1943) estão expressos na Tabela 6. Graficamente, os valores da médias das estruturas estão expressos na Figura 12.

Pela anālise desta Tabela foi possīvel verificar uma semelhança nos valores percentuais dos animais controles e tratados em todas as estruturas estudadas, ou seja, 51.78 ( $^{\pm}$  2,65) e 51.02 ( $^{\pm}$  0,54) (citoplasma); 14.08 ( $^{\pm}$ 2,77) e 12.20 ( $^{\pm}$  1,48) (nūcleo); 19.36 ( $^{\pm}$  4,49) e 18.96 ( $^{\pm}$  2,18) (interstício); 14.78 ( $^{\pm}$  3,59) e 17.88 ( $^{\pm}$  1,27) (luz). Estes fatos for ram comprovados com o emprego da anālise de variāncia (Tabela II), evidenciando que nesta época da vida dos animais em experimento a vitamina A deixou de provocar alterações significativas nas estruturas estudadas quando comparados animais controles com animais tratados.

TABELA 6 - Valores percentuais, média destes valores e erro padrão das médias de citoplasma, núcleo, interstício e luz das glândulas de HARDER de ratos controles e trata dos, sacrificados no 260 dia de vida.

CITOPL	ASMA	NO	CLED	INTER	STICIO	1	UZ
C	Ţ	С	T	С	T	С	T
49,4	50,4	12,2	10,0	27,0	20,1	11,4	19,5
52,1	50,9	15,5	13,0	18,4	18,9	14,0	17,5
56,2	51,8	12,5	13,8	15,4	15,8	15,9	18,6
50,7	51,3	11,9	12,7	17,0	18,3	20,4	17,7
50,5	50,7	18,3	11,5	19,0	21,7	12,2	16,1
Σ	χχ	χ̈	X X	Ž 25. 05	χ̈́	Ϋ́	χ
51,78 ( <sup>+</sup> 2,65)	51,02 ( <sup>+</sup> 0,54)	14,08 ( <sup>+</sup> 2,77)	12,20 ( <sup>+</sup> 1,48)	19,36 ( <sup>±</sup> 4,49)	18,96 ( <sup>†</sup> 2,19)	14,78 ( <sup>+</sup> 2,59)(	. "

TABELA 7 - Analise de variancia dos angulos correspondentes as percentagens do citoplasma, núcleo, interstício e luz das glandulas de HARDER dos ratos controles e tratados, sacrificados com 6 dias de vida. Valores de F.

Fonte de variação	Soma dos Quadrados	Graus de liberdade	Quadrado medio	F
		Citoplasma		***************************************
Entre grupos	198,92	<b>.</b>	198,92	166,33**
Erro	9,57	7	1,20	
Total	200,49	8		
		Nūcleo		
Entre grupos	800,0	1	0,008	0,008 NS
Erro	7,792	7	0,97	
Total	7,800	8		
		Intersțīcio		
Entre grupos	76,73	***	76,73	85,28 **
Erro	7,20	7	0,90	
Total	83,93	8		
		Luz		
Entre grupos	27,89	1	27,89	79,68 **
Erro	2,80	7	0,35	
Total	30,69	8		

<sup>\*\* =</sup> significativo ao nível de 1%, valor crítico de F = 11,2 NS = não significativo.

TABELA 8 - Analise de variancia dos angulos correspondentes as percentagens do citoplasma, núcleo, interstício e luz das glandulas de HARDER dos ratos controles e tratados, sacrificados com 11 días de vida. Valores de F.

Fonte de variação	Soma dos Quadrados	Graus de liberdade	Quadrado medio	F
Transfer of the second		Citoplasma		4-7-1-1-1-1-1-1-1-1-1-1-1-1-1-1-1-1-1-1-
Entre grupos	23,41	. ]	23,41	10,68 *
Erro	17,53	7	2,19	
Total	40,94	8		
		Nūcleo		
Entre grupos	0,002	poor.	0,002	0,001 NS
Erro	11,078	7	1,47	
Total	11,080	8		
		Interstício		
Entre grupos	2,03	1	2,03	0,60 NS
Erro	26,84	7	3,36	
Total	28,87	8		
		Luz		
Entre grupos	11,88	T	11,88	27,89 **
Erro	3,41	7	0,43	
Total	15,29	8		

<sup>\* =</sup> significativo ao nível de 5%, valor critico de F = 5,32

<sup>\*\* =</sup> significativo ao nīvel de 1%, valor crītico de F = 11,2

NS = não significativo.

TABELA 9 - Análise de variância dos ângulos correspondentes às percentagens do citoplasma, núcleo, interstício e luz das glândulas de HARDER dos ratos controles e tratados, sacrificados com 16 dias de vida. Valores de F.

Fonte de variação	Soma dos Quadrados	Graus de liberdade	Quadrado mēdio	F
	······································	Citoplasma	**************************************	· · · · · · · · · · · · · · · · · · ·
Entre grupos	69,16	7	69,16	22,11 **
Erro	25,01	7	3,13	
Total	94,17	8		
		Nūcleo		
Entre grupos	0,53	Promi	0,53	0,52 NS
Erro	8,03	7	1,01	
Total	8,56	8		
		Interstīcio		
Entre grupos	69,17	T. Prove	69,17	97,89 **
Erro	5,65	7	0,71	
Total	74,82	8		
		Luz		
Entre grupos	0,12	proce	0,12	0,07 NS
Er <b>r</b> o	14,57	7	1,82	
Total	14,69	8		

<sup>\*\* =</sup> significativo ao nivel de 1%, valor critico de F = 11,2

NS = não significativo.

TABELA 10 - Analise de variancia dos angulos correspondentes as percentagens do citoplasma, núcleo, interstício e luz das glandulas de HARDER dos ratos controles etratados, sacrificados com 21 dias de vida. Valores de F.

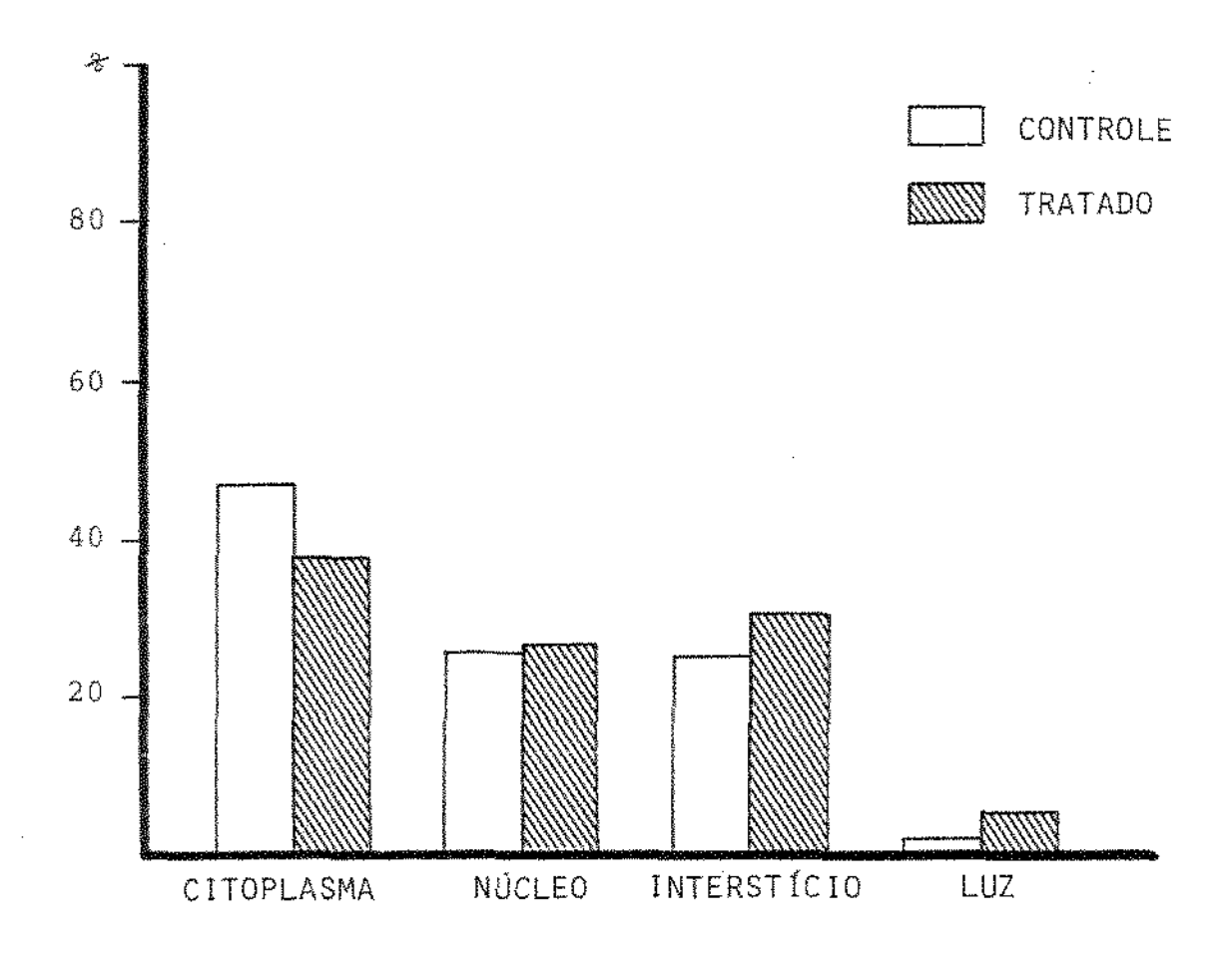
Fonte de variação	Soma dos Quadrados	Graus de liberdade	Quadrado medio	F	
		Citoplasma			**************************************
Entre grupos	0,67	Pro-se	0,67	0,33	NS
Erro	16,24	7	2,03		
Total	16,91	8			
		Nūcleo			
Entre grupos	0,08	Person	80,0	0,05	NS
Erro	11,45	7	1,43		
Total	11,53	8			
		Interstício			
Entre grupos	45,37	1	45.,37	32,84	**
Erro	11,05	7	1,38		
Total	56,42	8		•	
		Luz			
Entre grupos	62,50	Prop	62,50	16,02	**
Erro	31,30	7	3,90		
Total	93,70	8			

<sup>\*\* =</sup> significativo ao nīvel de 1%, valor crītico de F = 11,2 NS = não significativo.

TABELA 11 - Analise de variancia dos angulos correspondentes as percentagens do citoplasma, núcleo, interstício e luz das glandulas de HARDER dos ratos controles e tratados, sacrificados com 26 dias de vida. Valores de F.

Fonte de variação	Soma dos quadrados	Graus de liberdade	Quadrado mēdio	F	
<u>,</u>	<u></u>	Citoplasma	·		<del>,</del>
Entre grupos	1,44	Jesus	1,44	0,40	NS
Erro	29,30	7	3,66		
Total	30,74	8			
		Nucleo			
Entre grupos	8,83	7	8,83	1,79	NS
Erro	39,39	7	4,92		
Total	48,22	8			
		Interstício			
Entre grupos	0,40	1	0,40	0,03	NS
Erro	99,90	7	12,49		
Total	100,30	8			
		Luz			
Entre grupos	24,03	1	24,03	3,31	NS
Erro	58,01	7	7,25		
Total	82,04	8			

NS = não significativo.



•FIGURA 8 - Média dos valores correspondentes a percentagens de citoplasma, núcleo, interstício e luz das glândulas de HARDER dos ratos controles e tratados sacrificados no 60 día de vida.

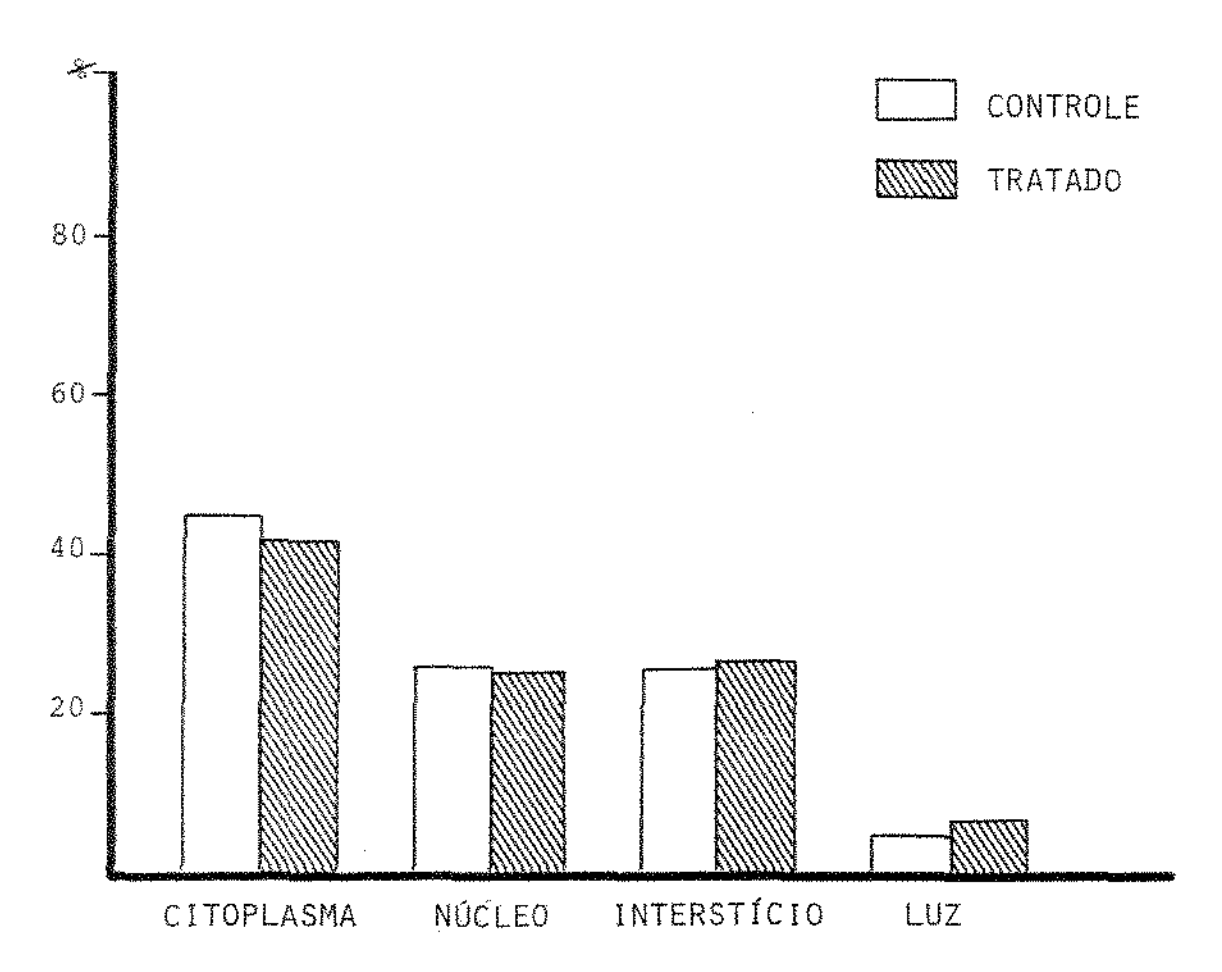


FIGURA 9 - Média dos valores correspondentes a percentagens de citoplasma, núcleo, interstício e luz das glândulas de HARDER dos ratos controles e tratados sacrificados no 119 dia de vida.

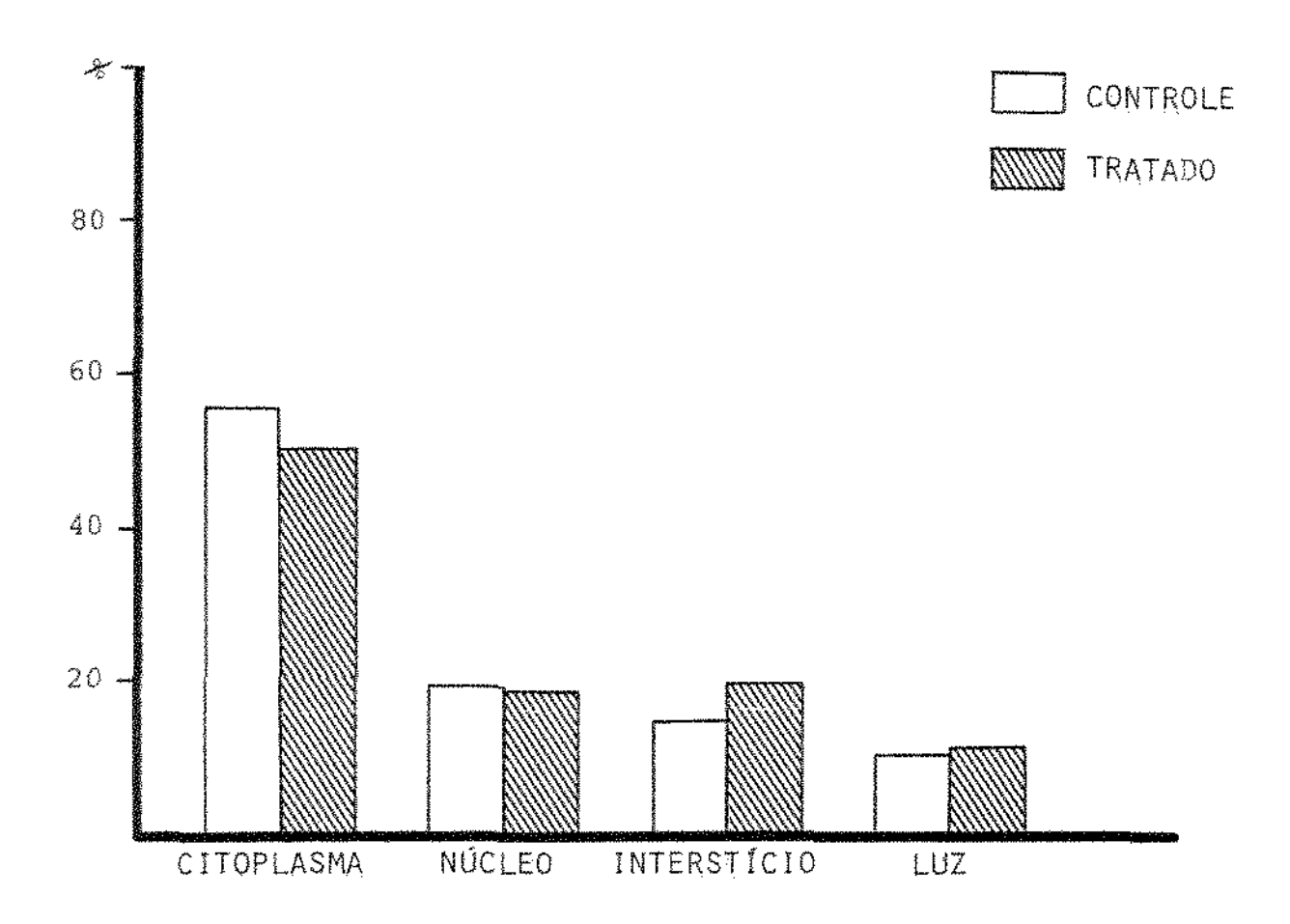


FIGURA 10 - Média dos valores correspondentes a percentagens de citoplasma, núcleo, interstício e luz das glandulas de HARDER dos ratos controles e tratados sacrificados no 160 dia de vida.

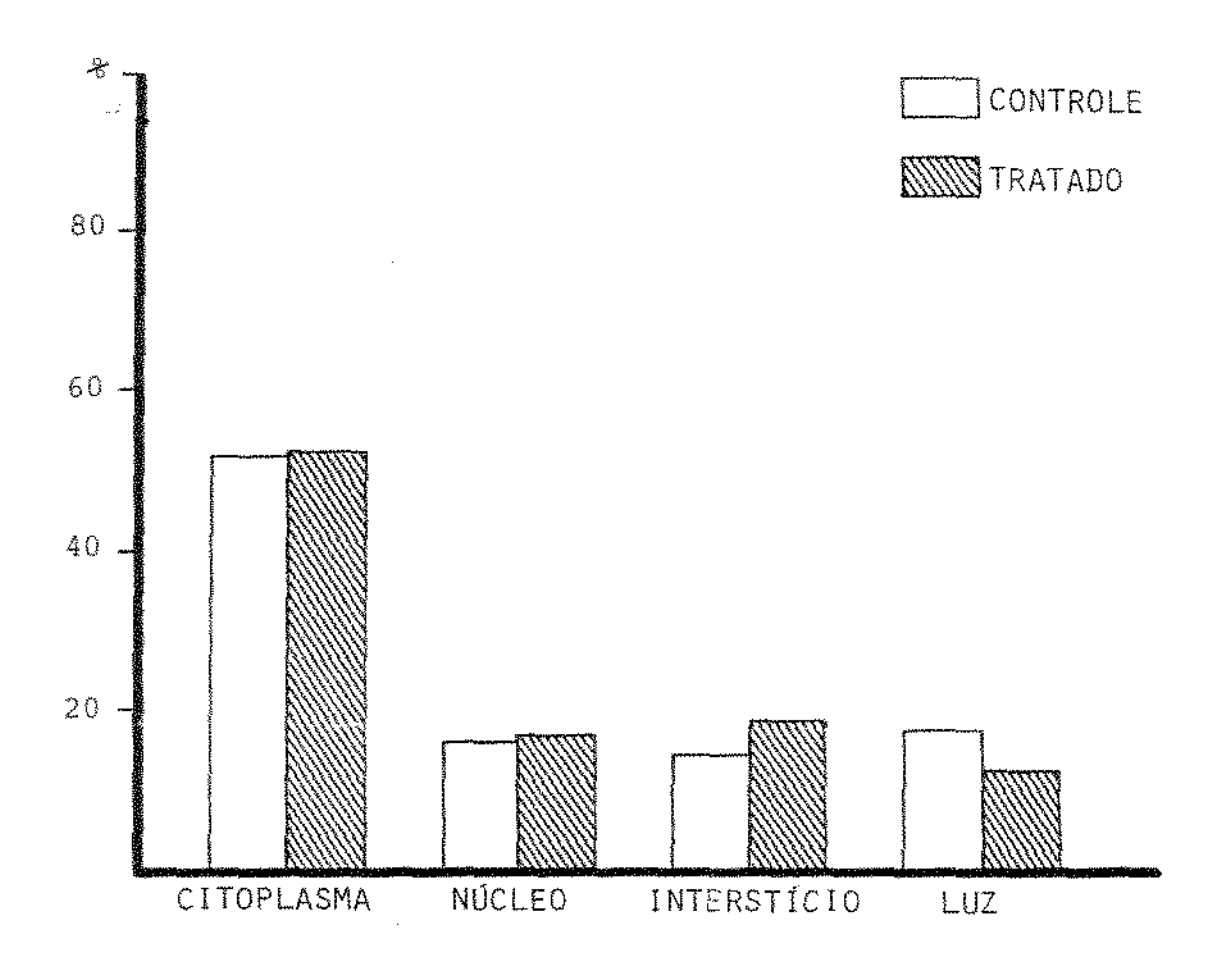


FIGURA 11 - Média dos valores correspondentes a percentagens de citoplasma, núcleo, interstício e luz das glandulas de HARDER dos ratos controles e tratados sacrificados no 21º dia de vida.

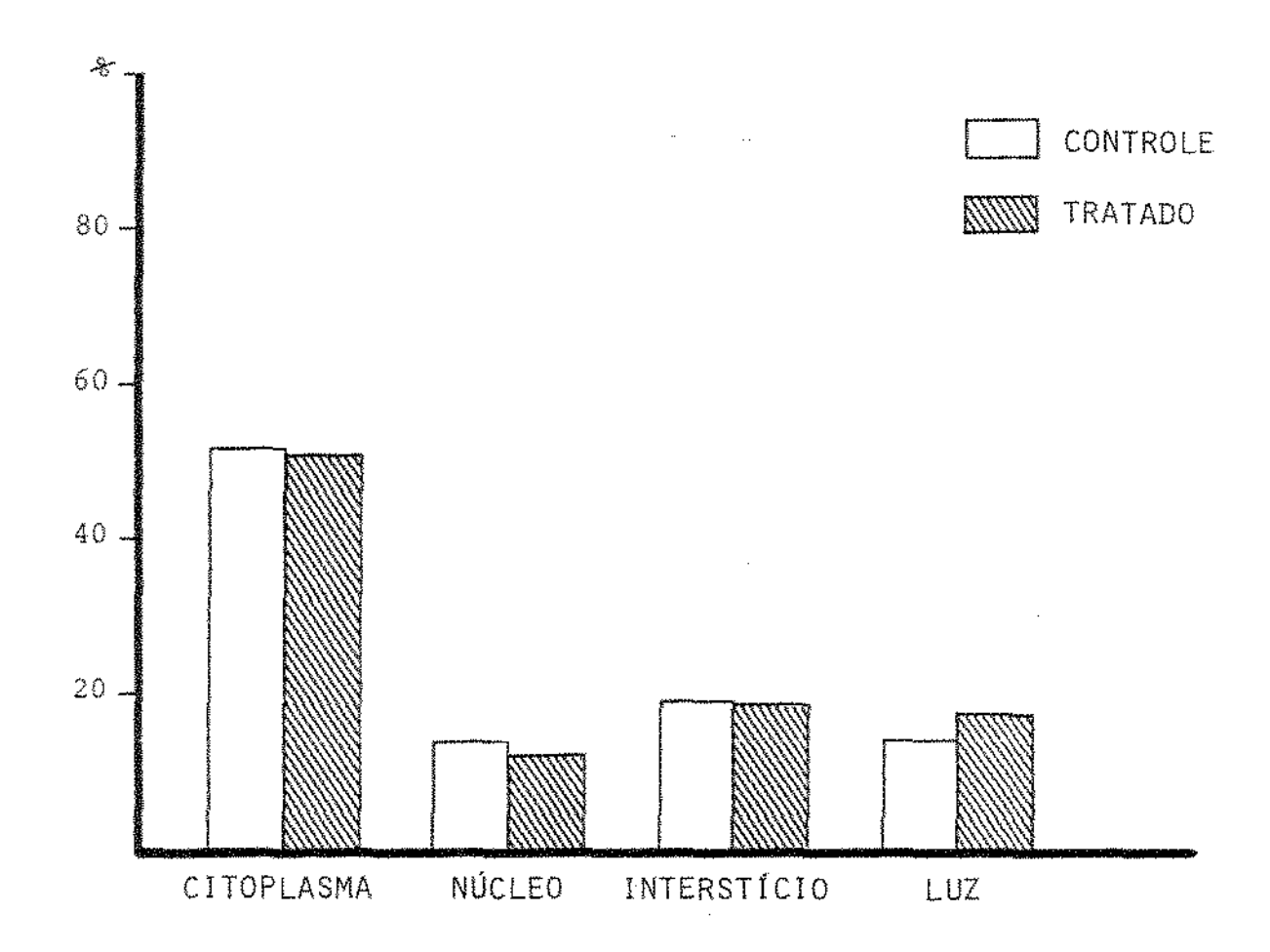


FIGURA 12 - Média dos valores correspondentes a percentagens de citoplasma, núcleo, interstício e luz das glandulas de HARDER dos ratos controles e tratados sacrificados no 269 dia de vida.

## 3.2.2. Resultados cariométricos

Analisando-se a Tabela 17. verificou-se que os volumes nucleares das células secretoras das glandulas de HARDER de ratos cujas mães receberam injeções de vitamina A e sacrificados no 69 dia de vida, foram menores  $(76,96 \mu m^{3})$  $\stackrel{+}{-}$  9,80) do que os animais controles (85,69  $\mu$ m<sup>3</sup>  $\stackrel{+}{-}$  6,91). E, na Tabela 12, observou-se que a major percentagem de volumes nucleares dos animais tratados com vitamina A, estava entre os 50 - 100 (68,6%) e que a dos animais controles também se situaram neste intervalo, ou seja, 50 | 100 (63,8%). Para a confirma ção destes dados, foi construído, com auxilio de uma regua logarītmica, um histograma (Figura 13), onde estā representada a distribuição de frequência dos volumes nucleares absolutos das células acinares das glandulas de HARDER dos animais sacrificados no 6º dia de vida pos-natal. Pela analise desta Figura, observou- se um pequeno desvio para a esquerda da mediana nos animais trata dos, fato este que foi confirmado quando da aplicação do da mediana. Considerando-se o quadro abaixo:

	GRUPO CONTROLE	GRUPO TRATADO	TOTAL
Valores menores que a mediana	166	218	384
Valores iguais ou ma <u>i</u> ores que a mediana	344	282	616
Total	500	500	1000

iobteve-se um  $\chi^2$  de valor 10,99, que quando comparado ao  $\chi^2$  tabela do de valor 3,84, levou a rejeição da hipótese que os valores fossem iguais.

Com relação aos volumes nucleares das celulas acinares dos animais controles e tratados sacrificados no 11º dia de vida, foi verificado pela análise Tabela 18, que nos animais tratados os volumes nucleares apresentaram-se com resultados exatamente opostos ao caso anterior. seja, maiores (77,05  $\mu$ m<sup>3</sup>  $^{+}$  6,11) do que os dos animais controles (70,21 µm<sup>3</sup> + 1,46), sendo que tal fato foi confirmado quando analisou a Tabela 13, ende foi encontrado também que a major percentagem de volumes nucleares nos animais tratados e controles es tava entre os valores 50 — 100 (71,8% e 74,0%, respectivamente). Esta diferenca foi evidenciada pela análise da Figura 14, onde es tão representadas as distribuições de frequência dos volumes cleares nos animais controles e tratados, onde observou-se deslocamento para a esquerda nos animais controles. Este foi confirmado quando da aplicação do teste da mediana. Conside rando-se o quadro abaixo:

	GRUPO CONTROLE	GRUPO TRATADO	TOTAL
Valores menores que a mediana	265	197	462
Valores iguais ou mai ores que a mediana	235	303	538
Total	500	500	1000

obteve-se um X<sup>2</sup> de valor 1,80 que, quando comparado ao X<sup>2</sup> tabelado, de valor 3,84, levou a rejeição da hipótese que os valores fossem iquais.

Analisando-se a Tabela 19, verificou-se que os volumes nucleares das celulas secretoras das glandulas de HARDER dos animais tratados e sacrificados no 169 día de vida foram menores (59,23 µm<sup>3</sup> + 7,19) que os dos animais

controles (77,98 µm³ ± 3,66). Na Tabela 14, este fato mostrou - se evidente, pois apesar da maior percentagem dos volumes nucleares dos animais tratados e controles se situarem no mesmo intervalo de classe, ou seja, 50 | 100, as suas freqüências relativas foram diferentes (69,8% para os tratados e 79,0% para os controles). A Figura 15, onde esta representado o histograma de freqüência dos volumes nucleares dos animais acima mencionados, mostrou um deslocamento a esquerda da mediana dos animais tratados em relação aos controles, o qual foi confirmado quando da aplica - ção do teste da mediana. Considerando-se os dados constantes do quadro abaixo:

	COUDA CONTRALE	COUDO TEXTADO	TOTAL
	GRUPO CONTROLE	GRUPO TRATADO	TOTAL
Valores menores que a mediana	139	319	458
Valores iguais ou mai ores que a mediana	361 ,	181	542
Total	500	500	1000

obteve-se um  $X^2$  no valor de 12,90, que quando comparado ao  $X^2$  tabelado, de valor 3,84, levou rejeição da hipôtese Ho.

Os animais sacrificados no 210 dia de vida, cujas mães receberam dosagens diárias de vitamina A, intraperitonialmente, mostraram-se ainda com os volumes nucleares das celulas acinares diferentes (Tabela 20), (70,28  $\mu$ m $^3$   $^+$  3,96) quando comparado aos animais controles (80,85  $\mu$ m $^3$   $^+$  5,54). Na Tabela 15, estão registrados estes dados, com a maior percenta gem dos volumes nucleares dos animais tratados e controles situados no mesmo intervalo de classe, ou seja, 50  $\mu$ m $^{-1}$ 00 (88,0% para os tratados e 80,2% para os controles). Analisando-se a Figura 16,

onde esta representado o histograma de freqüência dos valores relativos a este último Grupo, observou-se ainda um pequeno desvio a esquerda da mediana para os tratados, o qual foi confirmado quando da aplicação do teste da mediana. Considerando-se os dados constantes no quadro abaixo, obteve-se um  $\chi^2$  de valor 5,40, que quando comparado ao  $\chi^2$  tabelado, de valor 3,84, levou a rejeição da possibilidade desses valores serem semelhantes.

	GRUPO CONTROLE	GRUPO TRATADO	TOTAL
Valores menores que a mediana	155	271	426
Valores iguais ou ma <u>i</u> ores que a mediana	345	229	574
Total	500	500	1000

: Finalmente, com relação aos volumes nucleares das células acinares dos animais controles e tratados, sacrificados no 269 dia de vida, foi verificado pela analise da Tabela 21, que o resultado foi semelhante ao caso ante rior, ou seja, menores nos tratados (80,63  $\mu$ m<sup>3</sup>  $^{+}$  2,78) e maiores nos controles (92,46 um<sup>3 ±</sup> 4,73), tal fato foi também evidenciado quando da análise da Tabela 16, uma vez que a major percentagem dos volumes nucleares dos animais tratados se situou no intervalo 50 - 100 (91,4%) enquanto que para os controles foi uma menor frequência no mesmo intervalo (69,0%). A pequena dife renca entre os valores dos volumes nucleares destes 2 Grupos foi evidente pela análise da Figura 17, onde estão representadas distribuições de frequência dos volumes nucleares nos animais con troles e tratados, onde observou-se um deslocamento para a esquer da da mediana dos animais tratados. Este pequeno desvio foi con firmado quando da aplicação do teste da mediana. Quando se considerou o quadro abaixo, obteve-se um  $X^2$  de valor 5,65 que, quando comparado ao  $X^2$  tabelado, de valor 3,84, levou a rejeição da hip $\overline{b}$  tese que os valores fossem iguais.

	GRUPO CONTROLE	GRUPO TRATADO	TOTAL
Valores menores que a mediana	169	268	437
Valores iguais ou mai ores que a mediana	33]	232	563
Total	500	500	1000

Baseado nestes resultados pode-se concluir que a administração de vitamina A em uma rata du rante a lactação, parece ter provocado nas glândulas de HARDER dos filhotes, inicialmente, um menor crescimento volumêtrico, quan do comparado aos animais controles.

Esta situação inverteu -se nos animais sacrificados no 11º dia de vida, enfatizando uma reação nuclear à ação da vitamina A e posteriormente a glândula dos animais tratados entrou em exaustão, persistindo um menor crescimento volumêtrico nuclear até ao final do experimento.

TABELA 12 - Número de núcleos das células secretoras da glândula de HARDER de ratos controles e tratados, sacrifica - dos no 6º dia de vida.

	valo de e(µm³)	Número de nú cleos contro le		Nūmero de nū cleos trata- dos	
0	50	53	10,6	70	14,0
50	100	319	63,8	343	68,6
100	150	116	23,2	82	16,4
150	200	17	2,2	5	1,0
200	250	1	0,2	. <del>-</del>	-
·		500	100%	500	100%

TABELA 13 - Número de núcleos das células secretoras da glandula de HARDER de ratos controles e tratados, sacrifica - dos no 11º dia de vida.

	/alo de ⊇(µm³)	Número de nú cleos contro le	Relativa	Número de nú cleos trata- dos	
0	50	89	17,8	67	13,4
50	100	370	74,0	359	71,8
100	150	40	8,0	68	13,6
150	200	Ţ	0,2	5	1,0
200	250	. •••	. ***	<del></del>	0,2
		500	100%	500	100%

TABELA 14 - Número de núcleos das células secretoras da glândula de HARDER de ratos controles e tratados, sacrifica - dos no 169 dia de vida.

	/alo de e(µm³)	Nûmero de nû cleos contro le	,	Número de nú cleos trata- dos	
0	50	49	9,8	744	28,8
50	100	395	79,0	349	69,8
100	150	54	10,8	6	1,2
150	200	2	0,4	**************************************	0,2
200	250	<u>-</u>	<del>-</del>	· <del>.</del>	<b>-</b> .
		500	100%	500	100%

TABELA 15 - Número de núcleos das células secretoras da glandula de HARDER de ratos controles e tratados, sacrifica - dos no 210 dia de vida.

	valo de e(um <sup>3</sup> )	Número de nú cleos contr <u>o</u> le		Número de nú cleos trata- dos	
0	50	27	5,4	41	8,2
50	100	401	80,2	440	0,88
100	150	72	14,4	19	3,8
150	200	-	**************************************	-	447
200	250	, <del>-</del>		<del></del>	-
		500	100%	500	100%

TABELA 16 - Número de núcleos das células secretoras da glândula de HARDER de ratos controles e tratados, sacrifica - dos no 260 dia de vida.

	yalo de ≘(um³)		Relativa	Número de nú cleos trata- dos	
0	50	8	1,6	2	0,4
50	100	345	69,0	457	91,4
100	150	139	27,8	41	8,2
150	200	7	1,4	1844.	awa .
200	250	. Prima	0,2	<del></del>	. мл .
<del>n</del>	, , , , , , , , , , , , , , , , , , ,	500	100%	500	100%

TABELA 17 - Médias e erro padrão das médias dos volumes nucleares das células glandulares em micrômetros cúbicos, dos animais controles e tratados, sacrificados no 69 dia de vida.

CONTROLE		TRATADO
79,71		92,75
91,54		76,75
88,90	2	76,90
76,88	*	66,53
91,43		. 71,87
x 85,69 (- 6,91)		<sup>X</sup> 76,96 (− 9,80)

TABELA 18 - Médias e erro padrão das médias dos volumes nucleares das células glandulares em micrometros cúbicos, dos animais controles e tratados, sacrificados no 119 dia de vida.

	TRATADO
 	76,51
	71,52
	72,01
ě ž	78,65
 	. 86,57
Barrel Managaman de een Andalpun Hadrich Schlig gebarghild. 2000 William Samman een Het Hillig Beevers Samman dan Amerikaan samada Amerikaan sa	77,05 (- 6,11

TABELA 19 - Médias e erro padrão das médias dos volumes nucleares das células glandulares em micrômetros cúbicos, dos animais controles e tratados, sacrificados no 169 dia de vida.

CONTROLE	TRATADO
77,54	63,17
72,54	54,93
77,81	, 64,72
82,67	64,72
79,34	48,63
χ 77 οΩ	—————————————————————————————————————
77,98 (- 3,66)	( <sup>+</sup> 7,19

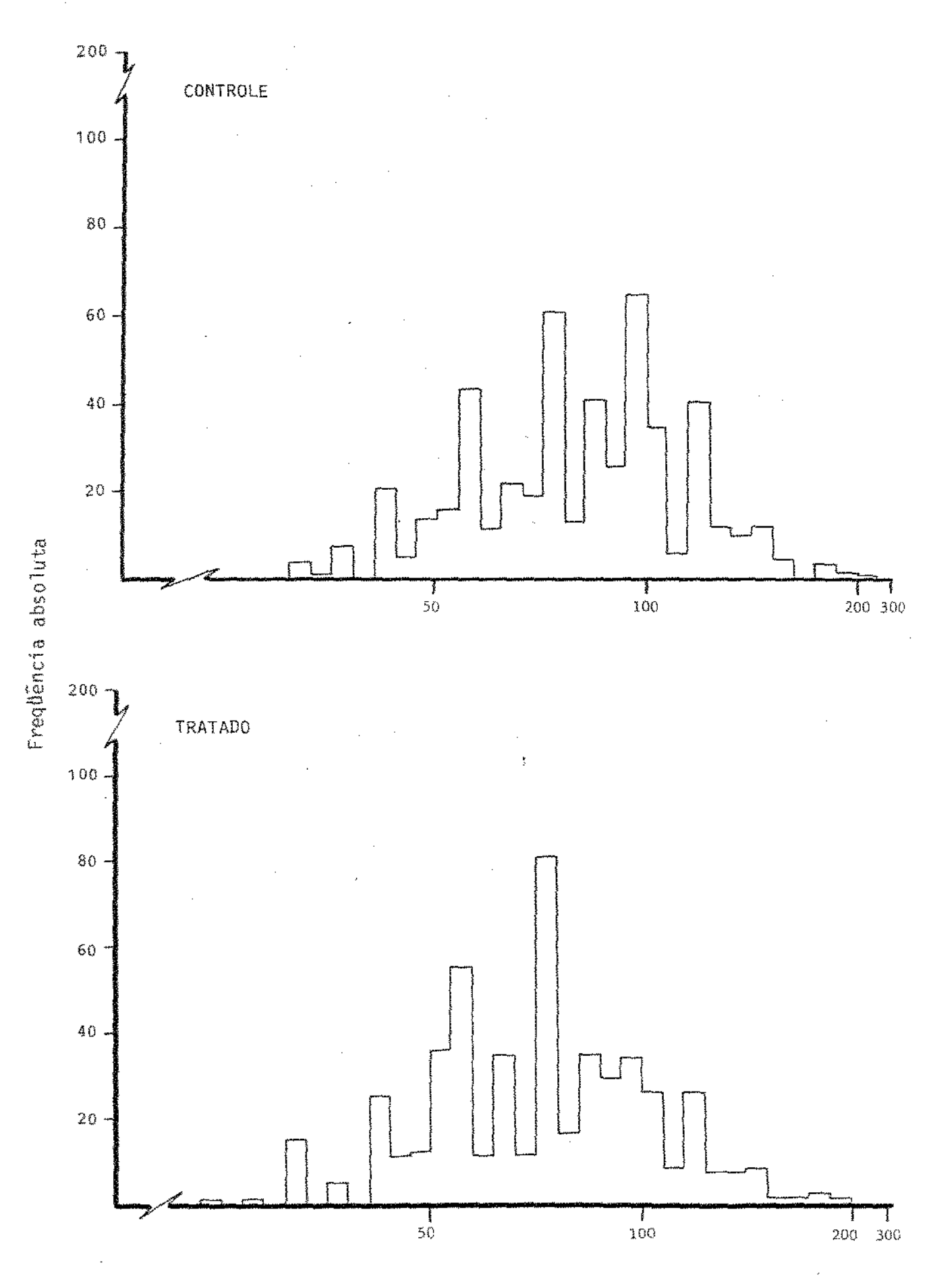
TABELA 20 - Médias e erro padrão das médias dos volumes nucleares das células glandulares em micrômetros cúbicos, dos animais controles e tratados, sacrificados no 219 dia de vida.

CONTROLE		TRATADO
73,67		67,67
76,11		72,12
84,43	h :	72,54
84,33		74,33
85,73		64,72
X	<u></u>	χ
80,85 (* 5,54)		70,28 (+ 3,96

TABELA 21 - Médias e erro padrão das médias dos volumes nucleares das células glandulares em micrômetros cúbicos, dos animais controles e tratados, sacrificados no 269 dia de vida.

CONTROLE	TRATADO
93,25	82,44
100,16	82,83
87,86	, 80,88
91,21	81,11
89,82	75,89
X	X 80 ci
92,46 (- 4,73)	80,63 

FIGURA 13 - Representação gráfica da distribuição de frequência dos volumes nucleares dos ácinos das glândulas de HAR DER dos animais controles e tratados, sacrificados no 69 dia de vida.



Volume nuclear absoluto (  $\mu m^3$  )

FIGURA 14 - Representação gráfica da distribuição de frequência dos volumes nucleares dos ácinos das glândulas de HARDER dos animais controles e tratados, sacrificados no 110 dia de vida.

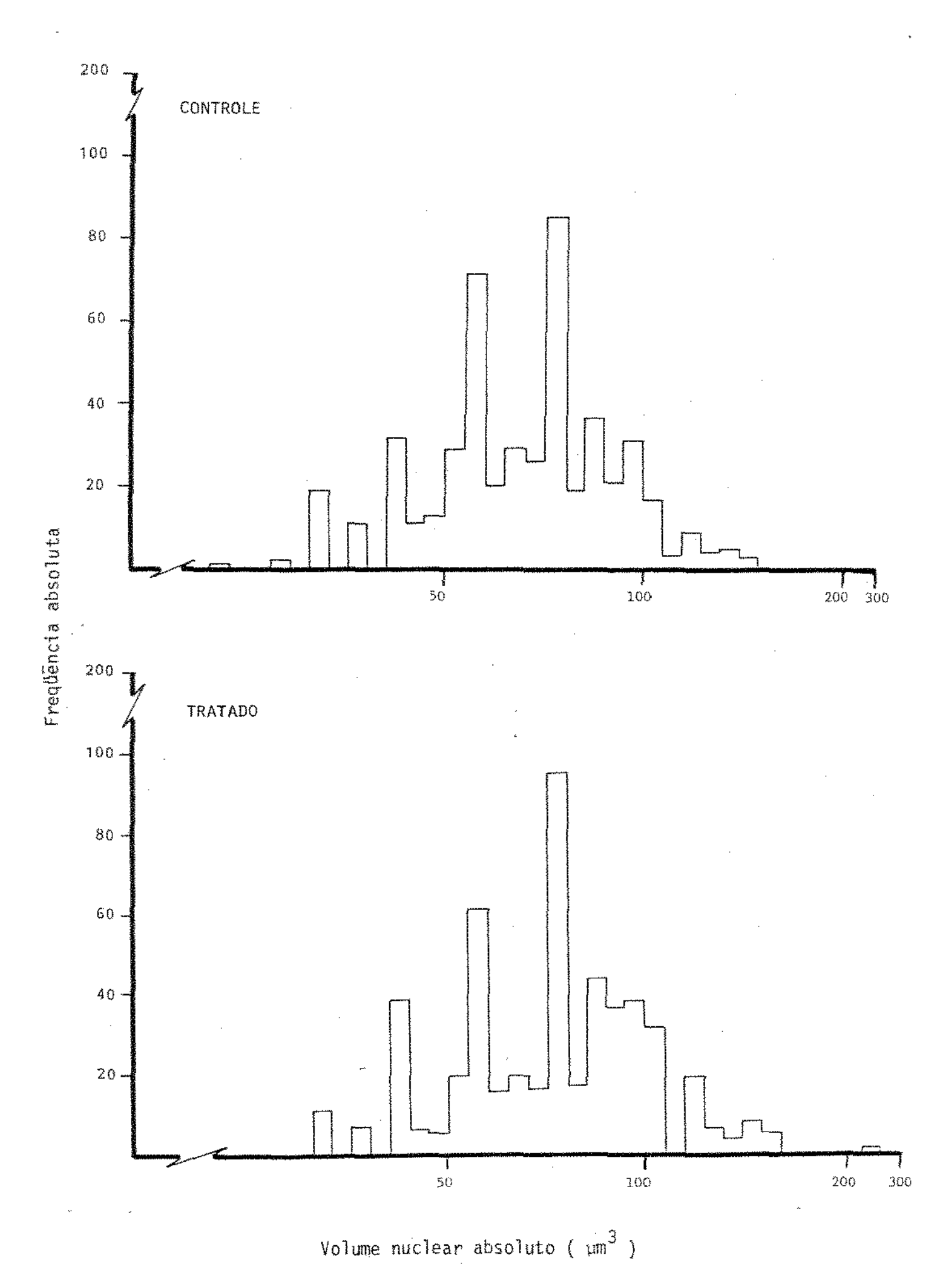
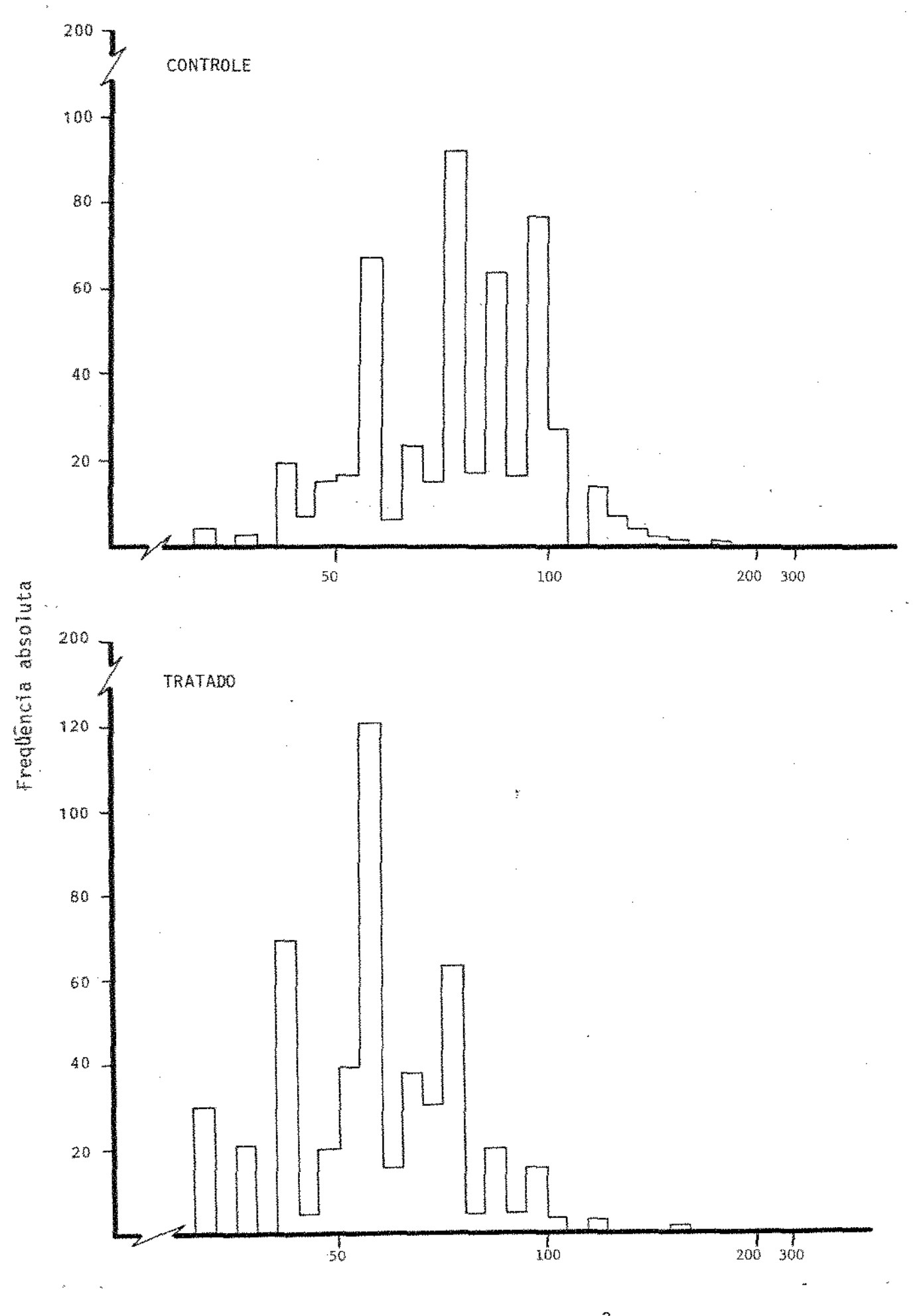
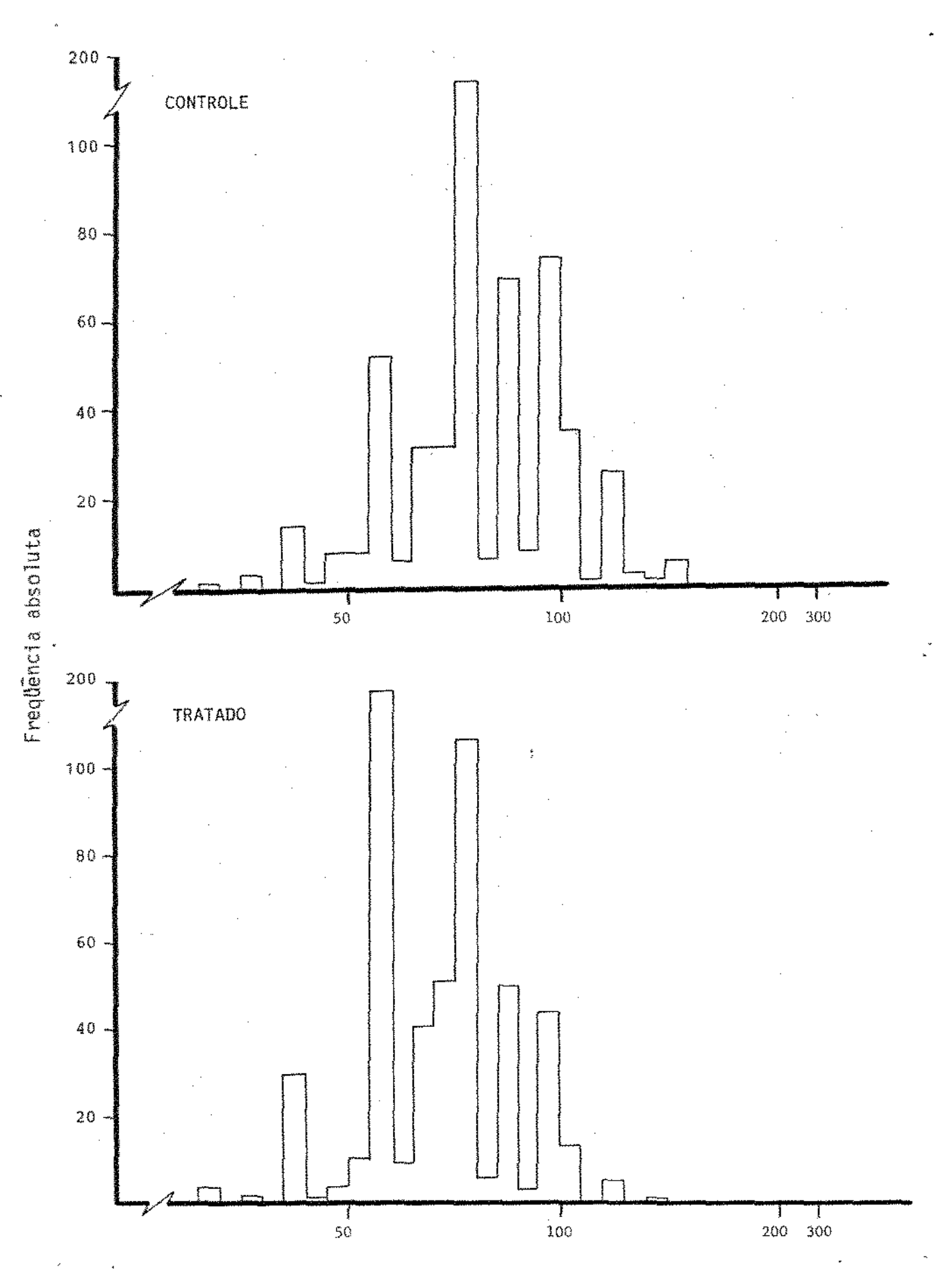


FIGURA 15 - Representação gráfica da distribuição de frequência dos volumes nucleares dos ácinos das glândulas de HARDER dos animais controles e tratados, sacrificados no 160 dia de vida.



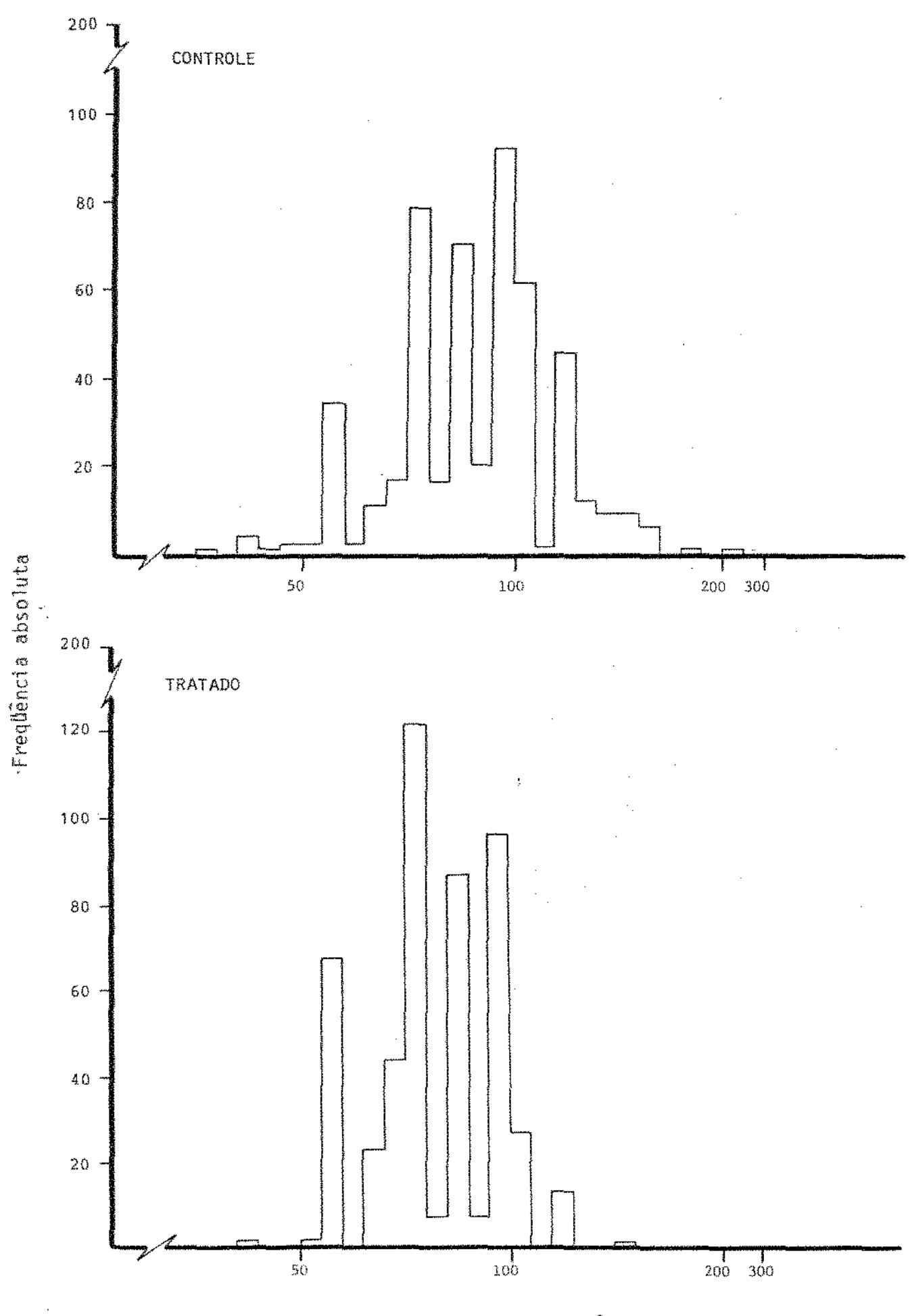
Volume nuclear absoluto (  $\mu\text{m}^3$  )

FIGURA 16 - Representação gráfica da distribuição de frequência dos volumes nucleares dos ácinos das glândulas de HARDER dos animais controles e tratados, sacrificados no 210 dia de vida.



Volume nuclear absoluto (  $\mu m^3$  )

FIGURA 17 - Representação gráfica da distribuição de freqüência dos volumes nucleares dos ácinos das glándulas de HARDER dos animais controles e tratados, sacrificados no 260 dia de vida.



Volume nuclear absoluto (  $\mu m^3$  )

4. DISCUSSÃO

Os estudos relativos  $\tilde{a}$  excreção da vitamina A vêm sendo feitos hã algum tempo. WOLF, KAHN & JOHNSON (1957), apos injetarem 14 -  $^{14}$  c retinol em ratos, observaram nas amostras de fezes e urina obtidas dos animais com 24 horas de injeção, uma eliminação de 20% do  $^{14}$ c em metabolitos de vitamina A nas fezes e uma eliminação de 12% na urina. Esses autores verificaram também, que somente apos 11 dias de administração da droga marcada, o  $^{14}$ c foi totalmente eliminado.

Utilizando acetato de 6,7 - <sup>14</sup>c reti - nil, injetado em rato, WOLF & JOHNSON (1960), mostraram que 5% dos <sup>14</sup>c foram oxidados a gas carbônico e eliminados pela respiração em um período de 48 horas. A correlação entre o estoque de vitamina A no figado e a excreção urinária e fecal de metabólitos de vitamina A em ratos foi feita por VARMA & BEATON (1972), os quais observaram que a excreção e proporcional ao estoque de vitamina A no figado.

Uma outra via importante de eliminação de vitamina A E o leite. BRANSTETTER e cols. (1973), demons -

> ONICAME BIBLIOTECA CENTRA.

traram em varios animais, incluindo a vaca e o rato, que de 50% a 60% da vitamina A ingerida e armazenada no corpo da mãe passa para o filho através do leite.

Em ratos jovens e adultos, as conse - quencias de doses elevadas de vitamina A, observadas ao exame geral, são: falta de apetite, fraqueza muscular, perda de pelos, ede ma de palpebra, incrustrações de pigmentos de porfirina ao redor dos olhos, catarata, colamento das palpebras, cegueira, altera - ções osseas, paralisia das pernas traseiras, perda de peso e even tualmente, morte. Essas observações foram descritas inicialmente em trabalhos de MOORE (1957, 1965), o qual utilizou a via intra - peritoneal como via de administração de vitamina A.

Em nosso material, quando da utiliza - ção do leite materno como via de administração de vitamina A, nenhuma alteração acima citada foi encontrada, inclusive o desenvol
vimento corporal dos animais controles e tratados foi bastante se
melhante (Figuras 1, 2, 3, 4 e 5).

Jā o peso das glāndulas de HARDER não acompanhou o peso corporal dos animais, pois, apesar de ocorrer desenvolvimento semelhante entre os animais controles e tratados, a média dos pesos das glāndulas foi maior nos ratos tratados quan do comparada aos controles, em todos os períodos estudados (Tabe la 1). Este fato sugere um desenvolvimento precoce das glândulas de HARDER dos animais tratados provocado pela vitamina A.

Histologicamente, as glandulas de HAR-DER dos animais cujas mães receberam vitamina A durante os primej ros 10 dias de lactação, apresentaram diferenças estruturais representadas por um aumento do tecido conjuntivo intersticial em todos os periodos estudados, citoplasma de celulas secretoras com menor altura nos ratos tratados nos primeiros periodos experimentais, e nos animais mais velhos, a eosinofilia dos citoplasmas destes animais tratados foi bastante marcante (Figuras 6D e F, 7D e F e 6F e 7F). E importante ressaltar, que a quantidade de produ

tos de secreção, bem como a presença de celulas em degeneração na luz dos acinos, foi maior nos ratos tratados. Este fato sugere que a vitamina A teria provocado uma proliferação de fibras colagenas no interstício das glandulas destes animais e também uma evolução precoce da glandula, iniciando nos animais tratados, o ciclo secretório mais cedo. Daí, o aumento da luz acinar eviden - ciado precocemente na glandula destes animais.

Uma das funções mais importantes da vi tamina A e a manutenção da integridade morfológica e funcional das células epiteliais, quer de revestimento quer glandulares. Hã, pois, a necessidade de uma quantidade balanceada de vitamina A na dieta, para que ocorra alterações nestes epitelios. As alterações epiteliais ocasionadas pela vitamina A são bem conhecidas. Estu dos recentes mostraram que o excesso de vitamina A ocasiona epitélios, metaplasía mucosa, aumento da espessura da camada basal com hipertrofia e hiperplasia, alem de aumento na mitótica. Essas alterações são devidas à ação direta da vitamina A e foram verificadas, em estudos "in vitro" e "in situ", na epiderme e nos epitellos, esofagicos, bucal e lingual do rato, camundonho e hämster (SABELLA, BERN & KAHN, 1951; FELL & 1950, 1953; WEISS & JAMES, 1955; BERN & cols.,1955; LAWRENCE BERN, 1958, 1960, 1963; LAWRENCE & cols., 1960; AYDELOTTE, 1963; NEW, 1963; HARDY, 1968).

Também são bem conhecidos os efeitos destes desníveis de vitamina A nos epitéliosglandulares. Os efeitos da vitamina A têm sido estudados na glândula de HARDER do rato (COSTA & cols., 1978, 1979), nas glândulas sebaceas (LOPES & cols., 1978) e nas glândulas salivares (REGESI & ROWE, 1972; LOPES & cols., 1973; LOPES & cols., 1974; PETENUSCI & cols., 1976; BUONAROTT & cols., 1977; LOPES & cols., 1978; LOPES & cols., 1979; LOPES & cols., 1981).

REGESI & ROWE (1972) observaram, na glândulas submandibular do rato, ao nível de microscopia eletrônica, hipertrofia e hiperplasia do retículo endoplasmático rugoso

e do aparelho de Golgi, quando o animal era submetido à hipervita minose A. Alem disso, mostraram a formação prematura de grânulos de secreção e a luz dos acinos achava-se dilatada. Tais evidências indicam glandulas em atividade secretora aumentada. A que a hipervitaminose torna-se cada vez mais aguda, iniciam-se os sinais de degeneração celular. Tal fato foi observado na glândula sublingual do rato por LOPES & cols. (1974) e por COSTA & (1978). A diminuição no tamanho das celulas acinares e número aumentado de celulas em degeneração na luz acinar, alem da presença de núcleos menores que os normais, indicam também um quadro de glandula que foi hiperativa, que esta entrando em exaustão (COS TA & cols., 1978). A presença de células em degeneração, numa glandula hiperativa, pode sugerir morte celular prematura por excesso de síntese e posterior exaustão e é seguida por uma hiper plasia fibrosa.

Os nossos resultados morfometricos con firmaram os achados histológicos, uma vez que os resultados obtidos com a técnica de CHALKLEY (1943) revelaram que a vitamina. A provocou um aumento do tecido intersticial e da luz acinar, e, uma diminuição do citoplasma das células secretoras das glându - las de HARDER, quando comparados aos resultados dos animais controles (Tabelas 2, 3, 4, 5 e 6 e Figuras 8, 9, 10, 11 e 12).

Os núcleos das células secretoras foram avaliados morfometricamente com o emprego da cariometría, quan do se observou que os volumes nucleares nos ratos tratados eram pouco menores que os dos controles, na maioria dos períodos experimentais (Tabelas 17, 18, 19, 20 e 21 e Figuras 13, 14, 15, 16 e 17).

Uma explicação razoavel, que esclarece o fenomeno da diminuição percentual do citoplasma das fibras obtido pela técnica de CHALKLEY (1943), bem como da posterior degeneração e morte celular prematura por excesso de síntese e exaustão, seguida, consequentemente, de uma fibrose, poderia ser considerada como resultante da ação direta da vitamina A nas mem-

branas das celulas acinares. Existem evidencias de que a vitamina A em excesso causa um aumento da permeabilidade das membranas das celulas, incluindo as organelas (FELL & cols., 1962). O aumento da permeabilidade da membrana lisossomal promove o seu rompimento liberando enzimas digestivas hidrolíticas aí contidas, as quais destruiriam as celulas (GLICK & KERR, 1968). Segundo APPELMANS & DE DUVE (1961) e DINGLE (1961) a liberação das enzimas lisosso - mais dependem em muito da concentração de vitamina A.

Sabe-se que a vitamina A é mobilizada no figado e levada aos tecidos por meio de transporte altamente regulado. Este sistema envolve duas proteínas plasmáticas: a proteína ligada ao retinol RBP e a pré-albumina. A vitamina A circula no plasma na forma de retinol especialmente ligada ao RBP, que por outro lado forma um complexo proteína-proteína com a albumina Estas proteínas servem então para transportar a vitamina A do fígado para as mambranas.

Os casos de alterações teciduais por ação da vitamina A parecem ocorrer "in vivo", somente quando o nível de vitamina A é tal que o retinol começa a circular no plas ma e atingir as membranas numa outra forma que aquela ligada ā RBP. MALLIA & cols. (1975) estudando ratos submetidos à doses excessivas de vitamina A, verificaram que o nível de RBP estava reduzido significativamente e que a maior parte da vitamina A circulava no plasma como ester do retinol, associado à lipoproteína de pequena densidade. Desta maneira, a liberação desregulada e não específica de vitamína A até os tecidos, levaria à toxicidade. Tais fatos receberam apoio no estudo sobre o transporte de vitamina A em humanos, realizado por SMITH & GOODMAN (1976).

Uma outra atuação da vitamina A sobre as celulas glandulares seria a de maneira indireta, mediada pela adrenal, pois sabe-se que a vitamina A atua diretamente na função desta glandula (SELYE, 1958). Além disso, ha uma relação entre a permeabilidade da membrana e os hormônios da glandula. A vitamina A introduzida no organismo provocaria então um aumento da permea-

bilidade da membrana da celula e das organelas (DINGLE & LUCY, 1965) e exerceria sua ação nos tecidos da glandula adrenal (MA -THUR & cols., 1973; MISRA & SRIVASTAVA, 1974). Tendo em vista que a vitamina A afeta a estabilidade estrutural dos lisossomos (DIN-GLE, 1961; FELL & DINGLE, 1963; ROELS & cols., 1969) e que os cor ticosteroides por outro lado protegem os lisossomos de desintegra ção (FELL & THOMAS, 1961) e que a vitamina A provoca hipertrofia e hiperfunção da adrenal mediada pela hipófise. RAM & MISRA(1975), admitiram que nos casos de estimulação maxima da adrenal pela vitamina A, a sintese e liberação de corticosteroides também deveriam ser maximas, vindo assim proteger as membranas dos lisosso mos da ação direta da vitamina A. Entretanto, a estimulação pela vitamina A, quer pela administração prolongada no rato adulto. quer pela administração de doses excessivas através do leite rato em lactação, provoca uma diminuição nos níveis de colesterol e de acido ascorbico na glandula adrenal, e sabe-se que o ascorbico inibe a ruptura da cadeia lateral do colesterol, influenciando, consequentemente, a gênese dos esterõides. Quando essa hiperatividade da adrenal não fosse proporcional as concentrações sericas de vitamina A, haveria diminuição na síntese e na liberação de adrenocorticoide, resultando na desintegração dos lisossomos e desencandeando, portanto, processo degenerativo nas células acinares das glandulas de HARDER dos animais utilizados.

Uma complementação para a explicação das alterações morfológicas observadas nas glândulas de HARDER dos ratos tratados poderia basear-se na correlação entre as alterações das membranas celulares e das organelas (controladas pela adrenal) com outros hormônios que interferem na estrutura e funcionamento desta glândula. Assim, sabendo-se que esta glândula para manter sua integridade histológica e funcional necessita, segundo BOAS & BATES (1954), da ação sinergética da tireoxina e um fator da hipôfise (possivelmente o hormônio do crescimento), qualquer alteração na produção ou no transporte da tireoxina no organismo, poderia ser responsavel por modificações nesta glândula. SADHU

& TRUSCOTT (1948) jā haviam verificado que o excesso de vitamina A reduzia a secreção de tireoxina e o fato de que o retinol e a tireoxina são transportados no plasma por um mesmo complexo proteico, levou PETERSON & cols. (1973) a sugerirem que estas substâncias competiriam entre si pelo mesmo transportador. Isto nos leva a sugerir que de uma maneira ou de outra a glândula seria le sada.

5. CONCLUSÕES

As glandulas de HARDER de ratos em lac tação, cujas mães receberam 20.000 UI de vitamina A durante 10 dias consecutivos e dos seus controles, foram estudadas histologi ca e morfometricamente, o que possibilitou ao autor as seguintes conclusões:

- O peso corporal dos animais tratados, cujas mães receberam doses excessivas de vitamina A, apresentou um crescimento semelhante aos animais controles durante todo o experimento, em todos os Grupos.
- A hipervitaminose provocou um aumento do peso glandular nos animais tratados quando comparado aos controles, durante todo o experimento.
- 3) A analise histológica demonstrou que nas glandu las de HARDER dos animais tratados ocorreu um desenvolvimento mais precoce da glandula, bem como aumento do tecido conjuntivo intersticial,

citoplasma com menor altura e maior eosinofilia

- 4) Os achados histológicos foram confirmados. sua major parte, pela aplicação da técnica de CHALKLEY (1943). Assim, para a glandula de HAR DER, foi possivel observar no animal hipervitaminotico A, diminuição do volume relativo citoplasma na fase inicial do experimento, voltando ao normal na fase final. Fenômeno contrãrio ocorreu com relação à luz acinar, que aumen tou no início do experimento tornando-se seme -Thante ao controle na fase final. Com relação aos componentes do tecido intersticial foi possīvel observar-se um aumento progressivo tes até o 21º dia, voltando à assemlhar-se controles no 269 dia de vida.
- 5) A cariometria permitiu concluir que no inicio do experimento ocorreu uma diminuição volumetri ca nuclear nas glandulas dos animais tratados em relação aos controles, ocorrendo, entretanto, uma inversão no Grupo de animais sacrificados no 11º dia de vida, para posteriormente, ocorrer uma nova diminuição volumetrica nuclear até o final do experimento.

6. REFERÊNCIAS BIBLIOGRĀFICAS

- AMES, S.R.; SWANSON, W.J.; RISLEY, H.A. & HARRIS, P.L. Vitamin A aldehydes metabolism, biopotency an toxicity. Fed. Proc., 13: 174, 1954.
- APPELMANS, F. & DE DUVE, C. Further observations on the binding of acid phosphatase by rat liver particles. <u>Biochem. J.</u>, <u>59</u>: 426, 1955.
- AYDELOTTE, M.B. The effects of vitamin A and citral on epithelial differentiation in vitro. 1. The chick tracheal epithelium. J. Embryol. Exp. Morph., 11: 279, 1963.
- BERN, H.A.; ELIAS, J.J.; PICKETT, P.B.; POWAR, T.R. & HARKNESS, M.N. The influence of vitamin A on the epidermis. Amer. J. Anat., 96: 419-441, 1955.
- BOAS, N.F. & BATES, R.W. Role of the thyroid and anterior pituitary glands in the maintenance of the harderian glands of the rat. Endocrinology, 55: 601, 1954.
- BRANSTETTER, R.F.; TUCKER, R.E.; MICHELL JUNIOR, J.E.; BOLING, J. A. & BRADLEY, N.W. Vitamin A transfer from cows to calves.

- <u>Internat. J. Vit. Nutr.</u> Res., 43: 142-146, 1973.
- BUONAROTT, I.; BIRMAN, E.G.; LOPES, R.A. & AZOUBEL, R. Estudo morfológico de glândulas salivares, esófago, duodeno e intestino grosso de ratos submetidos à hipervitaminose A crônica.

  Rev. Fac. Farm. Odont. Ribeirão Preto, 14: 73-79, 1977.
- CHALKLEY, H.W. Method for the quantitative morphologic analysis of tissues. J. Nat. Cancer Inst., 4: 47, 1943.
- COLLAZO, J.A. & RODRIGUES, J.S. Hypervitaminosis A. Klin Wschr., 12: 1732-1734, 1933.
- COSTA, J.R.V.; IUCIF, S. & LOPES, R.A. Effect of hypervitamino sis A on the harderian gland in rats. A morphologic and mor phometric study. Internat. J. Vit. Nutr. Res., 48: 113-122, 1978.
- costa, J.R.V.; IUCIF, S. & LOPES, R.A. Efeitos da hipervitaminose A na glandula lacrimal extra-orbitária do rato. Estudo mor fológico e morfométrico. Cien. cult., 31: 189-196, 1979.
- COSTA, J.R.V.; IUCIF, S.; PAULA-LOPES, O.V. & LOPES, R.A. Estudo da reversibilidade de lesões no músculo cardíaco de ratos sub metidos ã hipervitaminose A. Rev. Fac. Odont. Ribeirão Preto, 20: 78-93, 1983.
- DANIEL, M.R.; DINGLE, J.T.; GLAUERT, A.M. & LUCY, J.A. The action of excess vitamin A alcohol on the fine structure of rat dermal fibroblasts. J. Cell. Biol., 30: 465, 1966.
- DAVIES, A.W. & MOORE, T. Vitamin A and carotene. XI The distribuition of vitamin A in the organs of the normal and hipervitaminotic rat. Biochem. J., 28: 288-295, 1934.
- DINGLE, J.T. Release of a bound protease by the action of vita min A. Biochem. J., 79: 509, 1961.
- DINGLE, J.T. & LUCY, J.A. Studies on the mode of action of excess of vitamin A. V. The effect of vitamin A on the stability of the erythrocyte membrane. Biochem. J., 98: 173, 1962.

- DINGLE, J.T. & LUCY, J.A. Membrane phenomenous in relation to vitamin A. Proc. Nutr. Soc., 24: 170, 1965.
- DINGLE, J.T.; LUCY, J.A. & FELL, H.B. Effect of excess of vita min A on the metabolism and composition of embryonic chick-limb cartilage grown in organ culture. <u>Biochem. J.</u>, 79: 497, 1961.
- FELL, H.B. & DINGLE, J.T. Studies on the mode of mode of action of excess of vitamin A. I. Lysosomal protease and degration of cartilage matrix. Biochem. J. 87: 403-408, 1963.
- FELL, H.B.; DINGLE, J.T. & WEBB, M. The especificity on the effect on embryonic chick-limb cartilage in culture and on isolated rat liver lysosomes. Biochem. J., 83: 63-69, 1962.
- FELL, H.B. & MELLANBY, E. Effects of hypervitaminosis A on foe-tal mause bones cultived in vitro. <u>Brit. Med. J., 2</u>: 535-539, 1950.
- FELL, H.B. & MELLANBY, E. Metaplasia produced in cultures of chick ectoderm by high vitamin A. J. Physiol., 119: 470-488, 1953.
- FELL, H.B. & THOMAS, L. Comparison of the effects of papain and vitamin A on cartilage. II. The effects on organ cultures of embryonic skeletal tissue. J. Exper. Med., 111: 719-744,1960.
- FELL, H.B. & THOMAS, L. The influence of hydrocortisone on the action of excess vitamin A on limb-bone rudiments in culture.

  J. Exper. Med., 114: 343-462, 1961.
- FRANQUIN, J.C.; KORNER, W.F.; WEISER, H. & BAUME, L. L'epithé lium gingival du rat blanc soumis à une carence à vitamine A et à une hypervitaminose A. <u>Schweiz Mschr. Zahnheilk.</u>, <u>19</u>: 926, 1969.
- GANGULY, J. Metabolism of vitamin A. J. Sci. Ind. Res., 26: 110-130, 1967.
- GLAUERT, A.M.; DANIEL, M.R.; LUCY, J.A. & DINGLE, J.T. Changes in the fine structure of erythrocyte during haemolysis by vitamin A. J. Cell. Biol., 17: 111-121, 1963.

- GLICK, D. & KERR, W.J. Effect of vitamin A "in vitro" on histamine release and structure of mast cells. <u>Exper. Cell. Res.</u>, <u>53</u>: 129-134, 1968.
- GRAFFLIN, A.L. Histological observations upon the porphrin: excreting harderian gland of the albino rat. Amer. J. Anat., 71:43, 1942.
- HARDY, M.H. Glandular metaplasia of hair follicles and other responses to vitamin A excess in cultures of rodent-skin.

  Embryol. Exptl. Morph., 19: 157, 1968.
- JANOFF, A. & McCLUSKEY, R.T. Effect of excess vitamin A on acid phosphatase content of guinea-pig peritoneal leucocytes. <u>Proc. Soc. Exper. Biol. and Med.</u>, 110: 586-589, 1962.
- KAHN, R.H. Effect of locally applied vitamin A and estrogen on the rat vagina. Am. J. Anat., 95: 309-328, 1954.
- LAMANO CARVALHO, T.L. Estudo da reversibilidade das lesões testiculares de ratos adultos submetidos à hipervitaminose A. Ribei rão Preto, 1977. Dissertação de Mestrado, Rib. Preto - USP.
- LAWRENCE, D.J. & BERN, H.A. On the specificity on the response of mouse epidermis to vitamin A. J. Invest. Derm., 31: 313 325, 1958.
- LAWRENCE, D.J. & BERN, H.A. Mucous metaplasia and mucous gland formation in keratinized adult epithelium in situ treated with vitamin A. Exp. Cell. Res., 21: 443-446, 1960.
- LAWRENCE, D.J. & BERN, H.A. Vitamin A and mucous metaplasia. Ann. N.Y. Acad. Sci., 106: 646-653, 1963.
- LAWRENCE, D.J.; BERN, H.A. & STEDMAN, M.G. Vitamin A and keratinization. Ann. Otol., 69: 645, 1960.
- LOPES, R.A.; AZOUBEL, R.; VALERI, V.; IUCIF, S. & GOSUEN, L.C.Morphologic effects of hypervitaminosis A on rat sublingual glands. J. Dent. Res., 53: 757, 1974.
- LOPES, R.A.; COSTA, J.R.V.; MAIA CAMPOS, G.; PICCOLO, A.M. & PETE NUSCI, S.O. Estudo morfométrico dos efeitos da hipervitaminose

- A na glandula salival lingual posterior (de von EBNER) do rato. Rev. Fac. Farm. Odont. Ribeirão Preto, 15: 79-86, 1978.
- LOPES, R.A.; COSTA, J.R.V.; MAIA CAMPOS, G.; PICCOLO, A.M. & PETENUSCI, S.O. Estudo morfométrico da reversibilidade das al terações da glândula submandibular do rato submetido à hipervitaminose A. Rev. Fac. Farm. Odont. Ribeirão Preto, 16: 97-109, 1979.
- LOPES, R.A.; COSTA, J.R.V.; MAIA CAMPOS, G.; PETENUSCI, S.O. & PICCOLO, A.M. Morphometric study of the effects of hypervitaminosis A on the sublingual gland of the rat. <u>Arch.Latinoamer. Nutr.</u>, <u>30</u>: 210-222, 1980.
- LOPES, R.A.; COSTA, J.R.V.; PICCOLO, A.M.; MAIA CAMPOS, G.& PETE NUSCI, S.O. Study of the effect of hypervitaminosis A on the rat parotid gland. Ann. Nutr. Alim., 33: 607-618, 1979.
- LOPES, R.A.; COSTA, J.R.V.; PICCOLO, A.M.; MAIA CAMPOS, G. & PE-TENUSCI, S.O. Estudo da reversibilidade das alterações presentes da glândula de WEBER do rato submetido à hipervitaminose A. Rev. Esc. Farm. Odont. Alfenas, 3: 7-16, 1980.
- LOPES, R.A.; MAIA CAMPOS, G.; PICCOLO, A.M.; COSTA, J.R.V. & PE-TENUSCI, S.O. Estudo morfométrico da reversibilidade das alterações da glândula sublingual de ratos submetidos à hipervitaminose A. Rev. Fac. Farm. Odon. Ribeirão Preto, 18: 11 20, 1981.
- LOPES, R.A.; MAIA CAMPOS, G.; VALERI, V.; AZOUBEL, R. & IUCIF, S. Morphologic effects of hypervitaminosis A on rat kidney, during lactation. Rev. Fac. Farm. Odont. Ribeirão Preto, 9: 95-100, 1972.
- LOPES, R.A.; MAIA CAMPOS, G.; VALERI, V.; IUCIF, S. & AZOUBEL, R. Morphologic effects of hypervitaminosis A on posterior lingual salivary glands of the rat. Rev. Fac. Farm. Odont. Ribei rão Preto, 10: 23-30, 1973.
- LOPES, R.A.; PETENUSCI, S.O.; COSTA, J.R.V.; PICCOLO, A.M.

- MAIA CAMPOS, G. Estudo morfometrico da reversibilidade das alterações das glandulas palatinas de ratos submetidos a hipervitaminose A. MEMORIA, 2: 31-38, 1982.
- LOPES, R.A.; PICCOLO, A.M.; COSTA, J.R.V.; MAIA CAMPOS, G. & PETE NUSCI, S.O. Estudo morfométrico dos efeitos da hipervitaminose A na glândula submandibular do rato. Cien. cult., 32: 926-931, 1980.
- LOPES, R.A.; PICCOLO, A.M.; MAIA CAMPOS, G.; COSTA, J.R.V. & PETE NUSCI, S.O. Efeitos da hipervitaminose A nas glandulas sebaceas do rato. Rev. Fac. Farm. Odont. Ribeirão Preto, 15: 99-104, 1978.
- LOPES, R.A.; PICCOLO, A.M.; PETENUSCI, S.O.; COSTA, J.R.V. & MAIA CAMPOS, A.M. Effect of hypervitaminosis A on tongue muscles of the rat. A morphometric study. <u>Internat. J. Vit. Nutr.Res.</u>, 49: 235-239, 1979.
- LOPES, R.A.; VALERI, V.; IUCIF, S.; AZOUBEL, R. & MAIA CAMPOS, G. Effect of hypervitaminosis A on the testes of the rat during lactation. Internat. J. Vit. Nutr. Res., 44: 159-166, 1974.
- LUCY, J.A.; DINGLE, J.T. & FELL, H.B. A possible role of intracellular proteases in the gradation of cartilage matrix. <u>Biochem.</u> J., 79: 500, 1961.
- LUCY, J.A.; LUSCOMBE, M. & DINGLE, J. Studies on the mode of action of excess of vitamin A. VIII. Mitochondrial swelling. Biochem. J., 89: 419, 1963.
- MADDOCK, C.L.; COHNE, J. & WOLBACH, S.B. Effect of hypervitaminosis A on the testes of the rat. <u>Arch. Path.</u>, <u>56</u>: 333-340,1953.
- MALLIA, A.K.; SMITH, J.E. & GOODMAN, D.S. Metabolism of retinol binding protein and vitamin A during hypervitaminosis A in the rat. J. Lipid. Res., 16: 180, 1975.
- MATHUR, A.R.; RAMANATHAN, R. & MISRA, V.K. Effects of feeding excess of vitamin A and vitamin C on liver, plasm and adrenal lipids of rats. Internat. J. Vit. Nutr. Res., 44: 19-25, 1973.

- MISRA, V.K. & SRIVASTAVA, N. Stimulation of cholesterogenesis by ascorbic acid in adrenal of rats fed vitamin A. <u>Internat</u> J. <u>Vit.</u> Nutr. Res., 44: 230-233, 1974.
- MODIS, L.; SPREGA, A.; SUVEGES-MODIS, J. & CONTI, G. Recherches histochimiques et biochimiques sur des rats en hyper-et hypovitaminose A. Acta anat., 83: 481-504, 1972.
- MOORE, T. Vitamin A. Amsterdan, Elsevier, 1957.
- MOORE, T. Vitamin A and Proteins. Vitamin & Horm., 18:431 437, 1964.
- MOORE, T. Vitamin A deficiency and excess. Proc. Nutr. Soc., 24: 129-135, 1965.
- MOORE, T. & WANG, Y.L. Hypervitaminosis A. <u>Biochem. J.</u>, <u>39</u>: 222-228, 1945.
- MORRIS, G.M. & STEELE, G.E. The effect of excess vitamin A on the development of rat embryos in culture. <u>J. Embryol. Exp.</u> Morphol., 32: 505, 1974.
- NEW, D.A. Effects of excess vitamin A on cultures of skin and buccal epithelium of embryonic rat and mouse. <u>Brit. J. Derm.</u>, 75: 320, 1963.
- PETENUSCI, S.O.; LOPES, R.A.; SILVA NETTO, C.R. & MAIA CAMPOS,G. Contribuição ao estudo dos efeitos da hipervitaminose A nas glândulas salivares e adrenal do rato. Rev. Fac. Farm. Odont. Ribeirão Preto, 13: 35-40, 1976.
- PETERSON, P.A.; RASK, L.; ØSTBERG, L.; ANDERSON, L.; KAMWENDO, F. & PERTOFT, A. Studies on the transport and cellular distribuition of vitamin A in normal and A- deficient rats with special reference to the vitamin A- binding plasma protein.J. Biol. Chem., 248: 4009-4022, 1973.
- PICCOLO, A.M.; LOPES, R.A. & PETENUSCI, S.O. Efeitos da hipervitaminose A nas glandulas salivares do cobalo. <u>Biológica Ribeirão Preto</u>, 3: 7-11, 1977.

- RAM, G.C. & MISRA, V.K. Effects of vitamin A and phenobarbital on liver endoplasmatic reticulum of rats. <u>Internat. J. Vit. Nutr. Res.</u>, <u>44</u>: 391, 1974.
- RAM, G.C. & MISRA, V.K. Studies on mode of action of vitamin A. Internat. J. Vit. Nutr. Res., 45: 3-19, 1975.
- REGESI, J.A. & ROWE, N.H. Morphologic effects of hypervitaminosis A on rat submandibular gland. <u>Archs. Dral. Biol.</u>, <u>17</u>: 1609-1618, 1972.
- RODAHL, K. Hypervitaminosis A in rat. J. Nutr., 41: 399,1950.
- RODAHL, K. & MOORE, T. The vitamin A content and toxicity of bear and seal liver. Biochem. J., 37: 166-168, 1943.
- ROELS, O.A.; ANDERSON, O.R.; LUI, N.S.T.; SHAN, D.O. & TROUT, M.E. Vitamin A and membranes. Amer. J. Clin. Nutr., 22: 1020,1969.
- ROSA, R.; GRIECO, M.L. & NICOLAU, J. The effect of hypervitaminosis A on the sialic acid and hexosamina contents of the salivary gland of rats. <u>Internat. J. Vit. Nutr. Res.</u>, <u>46</u>: 369 372, 1976.
- SABELLA, J.D.; BERN, H.A. & KHAN, P.H. Effect on locally applied vitamin A and strogen on rat epidermis. <u>Proc. Soc. Exp. Biol.</u> <u>Med.</u>, 76: 499, 1951.
- SADHU, D.P. & TRUSCOTT, B.L. Hypervitaminosis A and the distributions of body iodine. Endocrinology, 43: 120,1948.
- SELYE, H. Sensitization of the skeleton to vitamin A overdosage by cortisol. Arthrits Rheum., 1: 87, 1958.
- SIEGEL, S. Nonparametric Statistics for the Behavioral. Science, N. York, Mc Graw-Hill, 1956.
- SMITH, F.R. & GOODMAN, D.S. Vitamin A transport in human vitamin A toxicity. N. Engl. J. Med., 294: 805, 1976.
- TAKEKOSHI, S. The mecanism of vitamin A induced teratogenesis. J. Embryol. Exp. Morphol., 12: 263, 1964.

THOMAS, L.; McCLUSKEY, R.T.; PORTTER, J.L. & WEISSMANN, G. Comparasion of the effect of papain and vitamin A on cartilage. I. The effects in rabbits. J. Exp. Med., 111: 705, 1960.

÷

- VALERI, V.; CRUZ, A.R.; BRANDÃO, J.S.H. & LISON, L.A. Relationship between cell nuclear volume and deoxyrybonucleic acid of cell of normal epithelium, of carcinoma "in situ" and of invasive carcinoma of the interine cervíx. Acta Cytol., 11: 488, 1967.
- VARMA, R.N. & BEATON, G.H. Quantitative aspects of the urinary and fecal excretion of radioactive metabolites of vitamin A in the rat. Can. J. Physiol. Pharm., 50: 1026-1037, 1972.
- WEISS, P. & JAMES, R. Skin metaplasia "in vitro" induced by brief exposure to vitamin A. Exp. Cell. Res., 3 (suppl.):381, 1955.
- WEISSMANN, G.; UHR, J.W. & THOMAS, L. Acute hypervitaminosis A in guinea-pigs. 1. Effects on acid hydrolases. <u>Proc. Soc.Exp.</u> Biol.Med., 112: 284, 1963.
- WEST, E.S.; TOOD, W.R.; MASON, H.S. & VAN BRUGGEN, J.T. <u>Bioquimi</u> ca médica. Interamericana, 4a. edição, 1969.
- WOLF, G. & JOHNSON, B.C. Metabolic transformation of vitamin A. Vitam. Horm., 18: 403-415, 1960.
- WOLF, G.; KHAN, S.G. & JOHNSON, B.C. Metabolism studies of radio active vitamin A. J. Am. Chem. Soc., 79: 1208-1212, 1967.